

ANALISA ALIRAN FLUIDA AKIBAT KERUSAKAN 3 BLADE PADA INDUCED DRAFT FAN

Nama Mahasiswa : Samuel Anderson Tambunan
NRP : 4209 100 074
Jurusan : Teknik Sistem Perkapalan
Dosen Pembimbing : Irfan Syarif Arief ST, MT.

Abstrak

Induced Draft Fan merupakan bagian dari sistem pembangkit listrik. Salah satu dari komponen *Induced Draft Fan* ini mengalami kerusakan pada daun *bladenya*. *Induced Draft Fan* ini berjenis *axial compressor* yang memiliki 16 buah *blade*, *blade* bekerja secara CPP (*Controlable Pitch Propeller*)

Pada tipe *Controllable Pitch Propeller* (CPP) daun *blade* dapat berubah sudutnya untuk menyesuaikan dengan RPM sehingga kecepatan sesuai dengan yang diinginkan.

Dalam keadaan normal, semua sudut *blade* akan berubah sesuai dengan perubahan kecepatan, tetapi dalam keadaan tertentu tiga *blade* mengalami kerusakan dengan *pitch* yang tidak seragam.

Tujuan dari penelitian ini adalah mengetahui bagaimana aliran fluida mempengaruhi gaya - gaya yang terjadi pada *blade* dan *hub* ketika daun *blade* pada *fan* mengalami kerusakan

Metode analisa yang akan digunakan adalah CFD (*Computational Fluid Dynamics*). Variabel yang divariasiakan adalah *pitch* dan putaran *blade*.

Kata kunci : *Induced Draft Fan, Blade, Controllable Pitch Propeller, Computational Fluid Dynamics*

“ Halaman ini sengaja dikosongkan “

FLUID ANALYSIS DUE TO DAMAGE ON 3 BLADES INDUCED DRAFT FAN

Student Name : Samuel Anderson Tambunan
NRP : 4209 100 074
Department : Marine Engineering
Supervisor : Irfan Syarif Arief ST, MT.

Abstract

Induced Draft Fan is part of the power plant system. One of the components of the Induced Draft Fan(IDF), blade suffered damage to its leaves. This axial compressor Induced Draft Fan's has 16 pieces of blades, and blades work as Controllable Pitch Propeller. On Controllable Pitch Propeller type (CPP) leaf blade changes its angle to adjust the speed according to RPM desired.

Under normal circumstances, all the blade angle will change according to the change of pace, but in certain circumstances, three blades were damaged because the pitches were not uniform. The purpose of this study was to determine how fluid flow affects the force on the blade and the hub, when the leaves on the fan blade is damaged

The analysis method will be using CFD (Computational Fluid Dynamics). The Variables are varied pitch and propeller rotation.

Keyword : Induced Draft Fan, Blade, Controllable Pitch Propeller, Computational Fluid Dynamics

“ Halaman ini sengaja dikosongkan “

BAB II

TINJAUAN PUSTAKA

2.1 Fan

Fan merupakan salah satu jenis mesin fluida yang berfungsi untuk memindahkan fluida (udara) dengan arah dan kecepatan tertentu sesuai dengan *rotor fan* yang digunakan. Kapasitas udara yang mampu dipindahkan oleh *fan* sangat ditentukan oleh tipe *fan*. Kapasitas merupakan jumlah gas yang dipindahkan oleh *fan* tiap satuan waktu, jika diukur dalam unit volum, maka kapasitas yang terjadi adalah kapasitas volumetrik yang biasanya dinotasikan dengan huruf Q dan kapasitas massa gas yang dipindahkan oleh *fan* adalah sebagai berikut :

$$m = P \times Q$$

Efisiensi *fan* adalah perbandingan antara daya yang dipindahkan ke aliran udara dengan daya yang dikirimkan oleh motor ke *fan*. Daya aliran udara adalah hasil dari tekanan dan aliran, dikoreksi untuk konsistensi unit.



Gambar 2.1 *Induced Draft Fan*

2.1.1 Controllable Pitch Propeller

Blade dengan sistem *Controllable Pitch Propeler (CPP)* adalah *blade* yang dapat mengubah/ mengatur *pitch blade* seperti pada *propeler*. *Pitch* adalah jarak aksial yang ditempuh/diambil oleh *Blade* pada satu kali putaran penuh (3600). CPP dapat menyesuaikan *pitch daun bladanya* (*pitch* dapat dirubah) apabila terjadi perubahan keadaan rpm dan perubahan beban yang dipengaruhi oleh keadaan pada saat *Fan* beroperasi. Pada keadaan dimana terjadi kesalahan dalam penentuan *pitch* dari *blade* maka hal ini akan memberikan dampak pada operasional motor penggerak *fan*



Gambar 2.2 *Induced Draft Fan*

2.2 Bearing

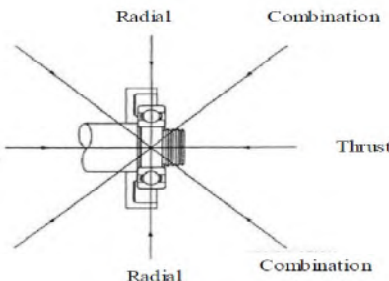
Bearing (bantalan) adalah elemen mesin yang menumpu poros yang mempunyai beban, sehingga putaran atau gerakan bolak – baliknya dapat berlangsung secara langsung dan mempunyai umur yang panjang. *Bearing* harus cukup kokoh untuk memungkinkan poros serta elemen mesin lainnya bekerja dengan baik. Jika *bearing* tidak berfungsi dengan baik maka proses seluruh sistem tidak dapat bekerja secara semestinya.

Dalam sejarah modern desain dan penggunaan *bearing* yang terdokumentasi dengan baik dimulai oleh Leonardo Davinci (23). Dia menggunakan *roller bearing* untuk kincir angin dan penggilingan gandum paten. Paten pertama tentang *bearing* didaftarkan di prancis 400 tahun kemudian. Selanjutnya katalog *bearing* sebagai komponen anti gesek telah digunakan secara luas dengan variasi ukuran, variasi beban, variasi putaran yang sangat lebar.

2.2.1 Klasifikasi Bearing

Secara umum *bearing* dapat diklasifikasikan berdasarkan arah beban dan berdasarkan konstruksi atau mekanismenya mengatasi gesekan. Berdasarkan arah beban yang bekerja pada bantalan, seperti ditunjukkan pada gambar 2.3, bearing dapat diklasifikasikan menjadi :

- Bantalan *radial/radial bearing* : menahan beban dalam arah radial
- Bantalan *aksial/ thrust bearing* : Menahan beban dalam arah aksial
- Bantalan yang mampu menahan kombinasi beban dalam arah radial dan arah aksial



Gambar 2.3 Arah beban pada *bearing*

Berdasarkan gerakan dikelompokkan kedalam

- Bantalan luncur yang terdiri dari; bantalan radial, bantalan aksial, bantalan khusus
- Bantalan gelinding yang terdiri dari bantalan bola, bantalan peluru, bantalan jarum, bantalan rol bulat

2.2.2 Perbedaan bantalan (*Bearing*) luncur dan bantalan gelinding

a. Bantalan Luncur

- Mampu menampung poros putaran tinggi
- Konstruksi sederhana
- Pembuatan dan pemasangan dapat dilakukan dengan mudah
- Gesekan sangat besar pada saat start sehingga memerlukan torsi awal yang besar
- Pelumasan tidak sederhana
- Gesekan yang terjadi sangat besar
- Panas yang dihasilkan cukup tinggi
- Dengan sistem pelumasan yang baik, bantalan luncur dapat meredam tumbukan dan getaran sehingga hampir tak bersuara
- Tidak memerlukan ketelitian yang tinggi sehingga harganya cukup murah

b. Bantalan gelinding

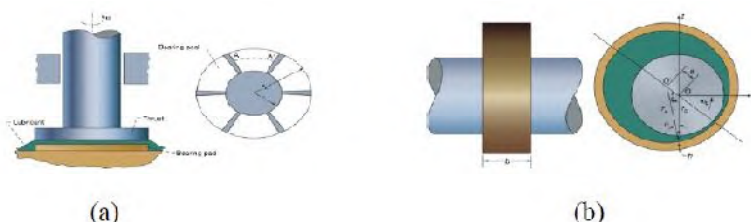
- Cocok untuk beban yang lebih kecil dibandingkan dengan bantalan luncur
- Putaran dibatasi oleh adanya gaya sentrifugal elemen gelinding pada bantalan
- Konstruksinya rumit dan proses pembuatan sulit
- Harganya lebih mahal dibandingkan dengan bantalan luncur
- Produksi pembuatan dilakukan dalam standarisasi
- Gesekan sangat kecil

- Pelumasan sangat sederhana misalnya dengan *grease*
- Gerakan elemen gelinding menyebabkan suara berisik

2.2.3 *Slider Bearing* (Bantalan Luncur)

Sliding Bearing memerlukan geseran langsung dari elemen yang membawa beban pada tumpuannya. Hal ini berbeda dengan *rolling element bearing* dimana bola atau *roller* dipasang diantara dua permukaan geser. *Slider bearing* atau sering juga disebut *plain bearing* terdiri atas dua jenis seperti yang ditunjukkan oleh gambar dibawah yaitu :

- *Journal* atau *sleeve bearing*, yang bentuknya silindris dan menahan beban radial (yang tegak lurus terhadap sumbu poros)
- *Thrust bearing*, yang bentuknya biasanya datar, dimana pada kasus poros yang berputar, dapat menahan beban yang searah dengan sumbu poros



Gambar 2.4 Sliderbearing, a) thrust bearing & b) Journal bearing

Pada kasus poros yang berputar, bagian poros yang terkontak dengan bantalan disebut *journal*. Bagian yang datar pada bantalan yang melawan gaya aksial disebut *thrustsurfaces*. Bearing ini sendiri dapat disatukan dengan dengan rumah atau *crankcase*. Tetapi biasanya berupa *shell* tipis yang dapat diganti dengan mudah dan yang menyediakan

permukaan bantalan yang terbuat dari material tertentu seperti *babbit* atau *bronze*. Ketika proses bongkar pasang tidak memerlukan pemisahan bantalan, bagian tertentu pada bantalan dapat dibuat sebagai sebuah dinding silindris yang ditekan pada lubang dirumah bantalan. Bagian bantalan ini disebut sebagai *bushing*.

Prosedur desain bantalan luncur :

- Hitung panjang bantalan dengan memilih L/d dari tabel bantalan luncur
- Hitung tekanan bantalan : $p = \frac{F}{L \times d}$
- Tentukan viskositas pelumas (Z) yang diperlukan
- Hitung modulus bantalan (perbandingan) $\frac{Z \cdot n}{p}$ dengan n : putaran poros
- Hitung *ratio clearance* : $\frac{c}{d}$
- Hitung koefisien gesekan (μ) = $\frac{F}{L \times d} \left(\frac{Z \cdot n}{p} \right) \left(\frac{d}{c} \right) + k$
k : faktor koreksi = 0,0002 untuk L/d dengan nilai (0,75 – 2,8)
- Hitung panas yang timbul : $H_G = \mu F v$
- Hitung panas yang dapat dipindahkan : $H_D = C \cdot A (t_b - t_a)$
C : koefisien perpindahan panas
A : Luas proyeksi = $d \times L$
 t_b : temperature bantalan
 t_a : temperature udara
- Catatan dalam desain :
 - Modulus bantalan : $\frac{Z \cdot n}{p} = K$
 - $\frac{Z \cdot n}{p} = K$ normal = 3 K
 - $\frac{Z \cdot n}{p}$ beban berat = 15 K
- Pemilihan L/d :
 - makin kecil L/d, maka makin rendah pula kemampuan bantalan menahan beban.
 - makin besar L/d, makin besar pula panas yang timbul.

- makin besar L/d, kebocoran pelumas di ujung bantalan dapat diperkecil.
- makin besar L/d, menyebabkan tekanan tidak merata.
- makin besar L/d, menyebabkan temperatur makin tinggi
- L/d harus ditentukan berdasarkan lokasi yang tersedia.
- L/d tergantung dari jenis bahan bantalan, makin lunak maka L/d makin besar.
- Harga koefisien perpindahan panas (C) :
 - bantalan dengan ventilasi : 0,0007 – 0,0020
 - bantalan tanpa ventilasi : 0,0002 – 0,0006, satuan kkal/min.cm²/°C
- Temperatur bantalan : $(t_b - t_a) = 0,5 (t_o - t_a)$
 - t_b : temperatur bantalan
 - t_a : temperatur udara
 - t_o : temperatur lapisan pelumas, tidak lebih dari 60°

2.2.4 Bantalan Gelinding

Beban yang dapat ditahan oleh bantalan tidak berputar disebut adalah beban statis. Beban statis dasar didefinisikan sebagai beban radial atau beban aksial pada deformasi permanen pada bola, beban terbesar mencapai 0,0001 kali diameter. Pada bantalan bola satu alur, beban statis dasar berhubungan pada komponen radial pada beban yang terjadi karena perpindahan letak radial *ring* bantalan satu dengan yang lainnya. Pada beberapa aplikasi dimana rotasi berikutnya pada bantalan lebih lambat dan kehalusan pada gesekan tidak terlalu diperhatikan, deformasi permanen lebih besar dapat diijinkan. Dengan kata lain dimana kehalusan diperlukan atau gesekan sangat diperlukan, deformasi permanen total yang kecil dapat diijinkan.

Berdasarkan IS:3823-1984, beban dasar (Co) dalam N bantalan gelinding sebagai berikut :

- Untuk bantalan bola radial, beban dasar statis radial (Co) dapat diperoleh dengan :

$$Co = fo \cdot i \cdot Z \cdot D^2 \cdot \cos \alpha$$

Keterangan :

- i : banyaknya alur pada bantalan bola
- Z : banyaknya bola pada tiap alur
- D : diameter bola.
- a. : Sudut kontak, nilai sudut antara garis aksi pada beban bola dengan bidang tegak lurus *axis* dari bantalan
- o : faktor bantalan (tergantung pada tipe bantalan), nilai faktor bantalan (fo) untuk bantalan yang terbuat dari baja yang dikeraskan dapat meng $fo = 0,34$ bantalan bola dengan pengaturan sendiri
 $fo = 1,25$ untuk kontak radial dan bantalan alur sudut

- Untuk bantalan *roller* radial, beban statis dasar radial dapat diperoleh dengan

$$Co = fo \cdot i \cdot Z \cdot Le \cdot D \cdot \cos \alpha$$

Keterangan :

- i : banyaknya alur pada bantalan bola
- Z : banyaknya *roller* per alur
- Le : Panjang efektif kontak antara *roller* dengan Cincin (washer) dimana kontak yang terpendek (mm). sama dengan panjang keseluruhan minus *roller chamfer* atau grinding *undercut*.
- D : Diameter roller (mm). Jika pada *tapered roller* digunakan diameter utamanya
- a. : Sudut kontak, nilai sudut antara garis aksi pada beban bola dengan bidang tegak lurus *axis* dari bantalan
- fo : 21,6 untuk bantalan yang terbuat dari baja yang terbuat dari baja yang dikeraskan.

- Bantalan bola aksial beban aksial dasar dihitung dengan :
$$Co = fo \cdot Z \cdot D^2 \sin \alpha$$

Keterangan :

Z : banyaknya bola pada tiap alur
 Fo : 49 bantalan terbuat dari baja yang dikeraskan
- Untuk bantalan *roller axial* beban statis dasar radial dapat diperoleh dengan

$$Co = fo \cdot i \cdot Z \cdot Le \cdot D \cdot \sin \alpha$$

Keterangan :

Z : banyaknya bola pada tiap alur
 Fo : 98,1 bantalan terbuat dari baja yang dikeraskan

2.2.5 Beban statis *ekuivalen* untuk bantalan *rol*

Beban *ekuivalen* statis dapat didefinisikan sebagai beban radial statis atau beban aksial dimana ditambahkan pada persamaan menjadi sama seperti deformasi permanent total yang terjadi pada bola yang menerima beban besar

Beban ekuivalen radial statis untuk bantalan radial atau bantalan rol dalam kondisi menerima kombinasi antara beban radial dan beban aksial atau beban tekan yang diberikan dengan pembesaran yang didapatkan dari persamaan di bawah ini.

$$F_{ro} = (X_0 F_r + Y_0 F_a) K_s$$

Keterangan :

F_{ro} : beban ekuivalen radial statis (N)
 F_r : beban radial (N)
 F_a : beban aksial (N)
 X₀ : faktor beban radial
 Y₀ : faktor beban aksial
 K_s : faktor *service*
 K_s = 1 untuk *uniform and steady load*
 K_s = 1,5 untuk *light shock load*
 K_s = 2,5 untuk *heavy shock load*

Tabel 2.1 Harga X_0 dan Y_0 untuk beberapa bantalan

| No. | Type of Bearing | Single Row Bearing | | Double Row Bearing | |
|-----|---|--|--|---------------------------------|--|
| | | X_0 | Y_0 | X_0 | Y_0 |
| 1. | Radial contact groove ball bearings | 0.60 | 0.50 | 0.60 | 0.50 |
| 2. | Self aligning ball bearing and tapered roller bearing | 0.50 | $0.22 \cot \theta$ | 1 | $0.44 \cot \theta$ |
| 3. | Angular contact groove bearing : $\theta = 15^\circ$ $\theta = 20^\circ$ $\theta = 25^\circ$ $\theta = 30^\circ$ $\theta = 35^\circ$ $\theta = 40^\circ$ $\theta = 45^\circ$ | 0.50 0.50 0.50 0.50 0.50 0.50 0.50 | 0.46 0.42 0.38 0.33 0.29 0.26 0.22 | 1 1 1 1 1 1 1 | 0.92 0.84 0.76 0.66 0.58 0.52 0.44 |

2.2.6 Beban dinamis ekuivalen bantalan gelinding

Pembebanan dinamik ekuivalen dapat didefinisikan sebagai harga konstan dari pembebanan radial bergerak dimana jika diberikan kepada sebuah bantalan dengan cincin dalam yang berputar dan cincin luar yang diam akan memberikan umur kerja yang sama dan mencapai harga kondisi sebenarnya pada pembebanan dan rotasinya.

$$F_e = (X_r \cdot V \cdot F_r + Y_a \cdot F_a) K_s$$

Keterangan :

V : faktor rotasi

= 1 untuk semua tipe bantalan ketika cincin dalam yang Berputar

= 1 untuk tipe bantalan *self aligning* ketika cincin dalam diam

K_s : faktor *service*

2.2.7 Umur Bantalan

Umur pakai bantalan berdasarkan putaran dapat dihitung dengan persamaan :

$$L = \left(\frac{C}{F_e}\right)^k \times 10^6 \quad (\text{dalam putaran})$$

2.2.8 Beban dinamis bantalan

$$C = Fe \left(\frac{L}{10^6} \right)^{\frac{1}{k}}$$

Keterangan :

- L : Umur pakai dalam putaran
C : beban dinamis ijin (N)
Fe : beban dinamis ekuivalen (N)
k : factor dinamis bantalan
= 3 untuk bantalan bola
= $\frac{10}{3}$ untuk bantalan *roller*
n : putaran (r/min)

Hubungan pendekatan antara umur pakai dalam putaran dengan jam kerja bantalan (L_H) sebagai berikut :

$$L = 60 \times n \times L_H \text{ (dalam putaran)}$$

Tabel 2.2 Harga faktor *service* (K_s)

| S.No. | Type of service | Service factor (K_s) for radial ball bearings |
|-------|-------------------------|---|
| 1. | Uniform and steady load | 1.0 |
| 2. | Light shock load | 1.5 |
| 3. | Moderate shock load | 2.0 |
| 4. | Heavy shock load | 2.5 |
| 5. | Extreme shock load | 3.0 |

Tabel 2.3 Harga Xr dan Ya untuk beban dinamis *ekuivalen*

| Type of bearing | Specifications | $\frac{F_a}{F_r} \leq e$ | | $\frac{F_a}{F_r} > e$ | | e |
|--|---------------------------|--------------------------|------|-----------------------|------|------|
| | | Xr | Ya | Xr | Ya | |
| Deep groove ball bearing $F_a = 0,025$ C_0 = 0,04 = 0,07 = 0,13 = 0,25 = 0,50 | | 1 | 0 | 0,56 | 2,0 | 0,22 |
| | | | | | 1,8 | 0,24 |
| | | | | | 1,6 | 0,27 |
| | | | | | 1,4 | 0,31 |
| | | | | | 1,2 | 0,37 |
| | | | | | 1,0 | 0,44 |
| Angular contact ball bearing | Single row | 1 | 0 | 0,35 | 0,57 | 1,14 |
| | Two rows in tandem | | 0 | 0,35 | 0,57 | 1,14 |
| | Two rows back to back | | 0,55 | 0,57 | 0,93 | 1,14 |
| | Double row | | 0,73 | 0,62 | 1,17 | 0,86 |
| Self aligning bearings | Light series, for bores : | | | 0,05 | 0,65 | 0,50 |
| | 10 – 20 mm | | | 1,3 | 2,0 | 0,50 |
| | 25 – 35 mm | | | 1,7 | 2,6 | 0,37 |
| | 40 – 45 mm | | | 2,0 | 3,1 | 0,31 |
| | 50 – 65 mm | | | 2,3 | 3,5 | 0,28 |
| | 70 – 100 mm | | 1 | 2,4 | 3,8 | 0,26 |
| | 105 – 110 mm | | 2,3 | 3,5 | 0,28 | |
| | Medium series for bores : | | | | | 0,63 |
| | 12 mm | | | 1,0 | 1,6 | 0,63 |
| | 15 – 20 mm | | | 1,2 | 1,9 | 0,52 |
| | 25 – 50 mm | | | 1,5 | 2,3 | 0,43 |
| Spherical roller bearings | For bores : | 1 | 0 | 0,67 | 3,1 | 0,32 |
| | 25 – 35 mm | | | 2,1 | 3,7 | 0,27 |
| | 40 – 45 mm | | | 2,5 | 4,4 | 0,23 |
| | 50 – 100 mm | | | 2,9 | 4,4 | 0,23 |
| | 100 – 200 mm | | | 2,6 | 3,9 | 0,26 |
| Taper roller bearings | For bores : | 1 | 0 | 0,4 | 1,60 | 0,37 |
| | 20 – 40 mm | | | | 1,45 | 0,44 |
| | 45 – 110 mm | | | | 1,35 | 0,41 |

Tabel 2.4 Umur Pakai Bantalan

| S. No. | <i>Application of bearing</i> | <i>Life of bearing, in hours</i> |
|--------|---|----------------------------------|
| 1. | Instruments and apparatus that are rarely used (a) Demonstration apparatus, mechanism for operating sliding doors. (b) Aircraft engines. | 500 1000 – 2000 |
| 2. | Machines used for short periods or intermittently and whose breakdown would not have serious consequences e.g., hand tools, lifting tackle in workshops, and operated machines, agricultural machines, cranes in erecting shops, domestic machines. | 4000 – 8000 |
| 3. | Machines working intermittently whose breakdown would have serious consequences e.g., auxillary machinery in power stations, conveyor plant for flow production, lifts, cranes for piece goods, machine tools used frequently. | 8000 – 12 000 |
| 4. | Machines working 8 hours per day and not always fully utilised e.g., stationary electric motors, general purpose gear units. | 12 000 – 20 000 |
| 5. | Machines working 8 hours per day and fully utilised e.g., machines for the engineering industry, cranes for bulk goods, ventilating fans, counter shafts. | 20 000 – 30 000 |
| 6. | Machines working 24 hours per day e.g., separators, compressors, pumps, mine hoists, naval vessels. | 40 000 – 60 000 |
| 7. | Machines required to work with high degree of reliability 24 hours per day e.g., pulp and paper making machinery, public power plants, mine-pumps, water works. | 100 000 – 200 000 |

2.3 Computational Fluid Dynamic (CFD)

CFD merupakan analisa sistem yang melibatkan aliran fluida, perpindahan panas, dan fenomena yang terkait lainnya seperti reaksi kimia dengan menggunakan simulasi komputer. Metode ini meliputi fenomena yang berhubungan dengan aliran fluida seperti sistem *liquid* dua fase, perpindahan massa dan panas, reaksi kimia, dispersi gas atau pergerakan partikel tersuspensi.

Secara umum kerangka kerja CFD meliputi formulasi persamaan-persamaan transport yang berlaku, formulasi kondisi batas yang sesuai, pemilihan atau pengembangan kode-kode komputasi untuk mengimplementasikan teknik numerik yang digunakan. Suatu kode CFD terdiri dari tiga elemen utama yaitu *pre-processor*, *solver* dan *post processor*.

1. *Pre-processor*

Pre-processor meliputi masukan dari permasalahan aliran ke suatu program CFD dan transformasi dari masukan tersebut ke bentuk yang cocok digunakan oleh *solver*. Langkah-langkah dalam tahap ini adalah sebagai berikut :

- Pendefinisian geometri yang dianalisa
- *Grid generation*, yaitu pembagian daerah domain menjadi bagian-bagian lebih kecil yang tidak tumpang tindih
- Seleksi fenomena fisik dan kimia yang perlu dimodelkan
- Pendefinisian properti fluida
- Pemilihan *boundary condition* (kondisi batas) pada kontrol volume atau sel yang berhimpit dengan batas domain
- Penyelesaian permasalahan aliran (kecepatan, tekanan, temperatur dan sebagainya) yang didefinisikan pada titik nodal dalam setiap sel. Keakuratan penyelesaian CFD ditentukan oleh jumlah sel dalam *grid*

2. *Solver*

Solver dapat dibedakan menjadi tiga jenis yaitu *finite difference*, *finite element* dan metode *spectral*. Secara umum metode *numeric solver* tersebut terdiri dari langkah-langkah sebagai berikut:

- Prediksi variabel aliran yang tidak diketahui dengan menggunakan fungsi sederhana
- *Diskretisasi* dengan substitusi prediksi-prediksi tersebut menjadi persamaan-persamaan aliran utama yang berlaku dan kemudian melakukan manipulasi matematis
- Penyelesaian persamaan aljabar. Pada proses *solver*, terdapat 3 persamaan atur aliran fluida yang menyatakan hukum kekekalan fisika, yaitu : 1) massa fluida kekal; 2) laju perubahan momentum sama dengan resultansi gaya pada partikel fluida (Hukum II Newton); 3) laju perubahan energi sama dengan resultansi laju panas yang ditambahkan dan laju kerja yang diberikan pada partikel fluida (Hukum I Termodinamika).

3. Post-Processor

Post processing merupakan tahap visualisasi dari tahapan sebelumnya. *Post processor* semakin berkembang dengan majunya *engineering workstation* yang mempunyai kemampuan grafik dan visualisasi cukup besar. Alat visualisasi tersebut antara lain:

- Domain geometri dan *display*
- Plot vektor
- Plot *kontour*
- Plot 2D dan 3D *surface*
- Partikel *tracking*
- Manipulasi tampilan (translasi, skala dan sebagainya)
- Animasi *display* hasil dinamik

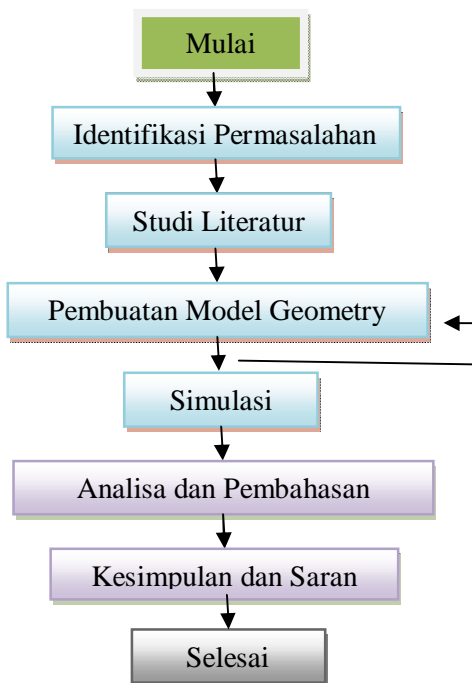
Dalam simulasi, model-model yang digunakan *didiskretisasi* dengan metode formulasi dan diselesaikan dengan menggunakan bermacam-macam algoritma numerik. Metode *diskretisasi* dan algoritma terbaik yang digunakan tergantung dari tipe masalah dan tingkat kedetailan yang dibutuhkan.

“ Halaman ini sengaja dikosongkan “

BAB III

METODOLOGI

Metodologi kegiatan ini merupakan kerangka dasar dari penyelesaian masalah. Metodologi tersebut meliputi seluruh kegiatan yang akan dilaksanakan untuk memecahkan masalah atau melakukan proses analisa terhadap permasalahan ini. Metodologi ini dapat dilihat secara lengkap melalui gambar 3.1 . penjelasan untuk seluruh proses dapat dijelaskan sebagai berikut :



Gambar 3.1 Metodologi pengajaran

Penjelasan untuk seluruh proses dapat dijelaskan sebagai berikut:

3.1. Identifikasi dan perumusan masalah

Pada proses ini akan dilakukan suatu identifikasi dan perumusan masalah yaitu tentang besaran dan arah *force* yang terjadi pada *hub* kompresor sebagai resultan dari distribusi tekanan yang tidak merata dengan metode *computational fluid dynamics* (cfd), dimana variabel yang divariasikan adalah sudut beban *blade*, yang nantinya akan dihasilkan hubungan antara sudut beban *blade* dan *force* yang terjadi pada *hub* kompresor.

3.2. Studi literatur

Melakukan studi literatur dengan tujuan untuk merangkum teori-teori dasar, acuan secara umum dan khusus, serta untuk memperoleh berbagai informasi pendukung lainnya yang berhubungan dengan penggerjaan permodelan ini. Studi literatur ini dapat diperoleh dari buku, jurnal, paper atau dari internet yang mendukung bahasan dari pekerjaan ini. Selain itu bisa juga dengan melakukan tanya jawab dengan pihak yang berkepentingan dan berkompeten pada bahasan ini.

3.3. Pembuatan model Geometry

Pembuatan model *induced draft fan* (IDF) SAF37.5-20-1 menggunakan software CFD. Model *induced draft fan* (IDF) SAF37.5-20-1 yang dibuat mempunyai diameter 3.758 m dengan memvariasikan perubahan sudut yaitu pada kondisi sudut normal, *open* dan *close* serta kondisi yang dipakai adalah sudut *blade* normal dan 3 sudut *blade* yang bermasalah.

3.4. Pengujian Model dan Pencatatan Data (Simulasi)

Setelah pembuatan model yang akan diuji selesai langkah selanjutnya yaitu pengujian model dan pencatatan data, pengujian model dilakukan dengan nilai putaran 735 rpm.

3.5. Analisa Data dan Pembahasan

Setelah simulasi dengan CFD selesai selanjutnya adalah analisa data dan pembahasan yaitu membandingkan data yang sudah didapat dari pengujian model pada tiap – tiap variable serta menampilkan data tersebut dalam grafik. Data – data tersebut digunakan untuk input analisa tegangan pada poros dan bearing.

3.6 Kesimpulan dan Saran

Kesimpulan dan saran dari akhir kajian ini merupakan penambahan wacana untuk membantu dalam mengambil keputusan dan rekomendasi.

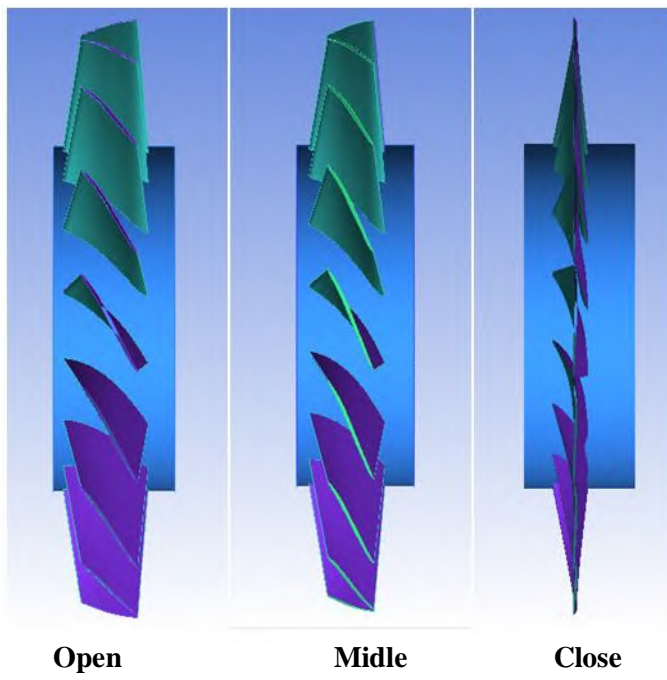
“Halaman ini sengaja dikosongkan”

BAB IV

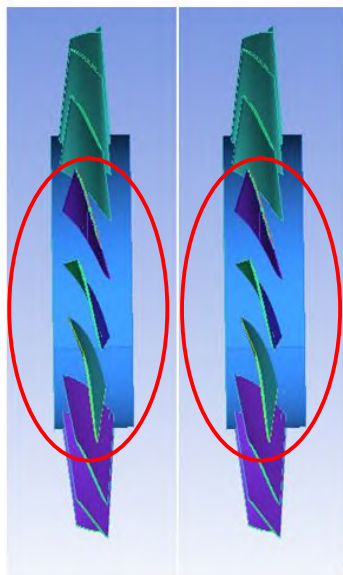
ANALISA DATA DAN PEMBAHASAN

4.1 Analisa Model Geometri

Pada gambar dibawah ialah berbagai pandangan model ID *Fan* ketika kondisi normal dan kondisi bermasalah. Kondisi normal terdiri atas posisi *open* (30°), posisi antara (25° , 20° dan 15°) dan posisi *close* (5°) ditunjukan pada gambar 4.1(a). tetapi ketika kondisi bermasalah geometri yang berhasil dibuat pada posisi *open* dan posisi *midle* seperti ditunjukan pada gambar 4.1(b). Untuk kondisi bermasalah posisi *close* tidak dapat di buat karena jarak antar *blade* sudah saling berdekatan.



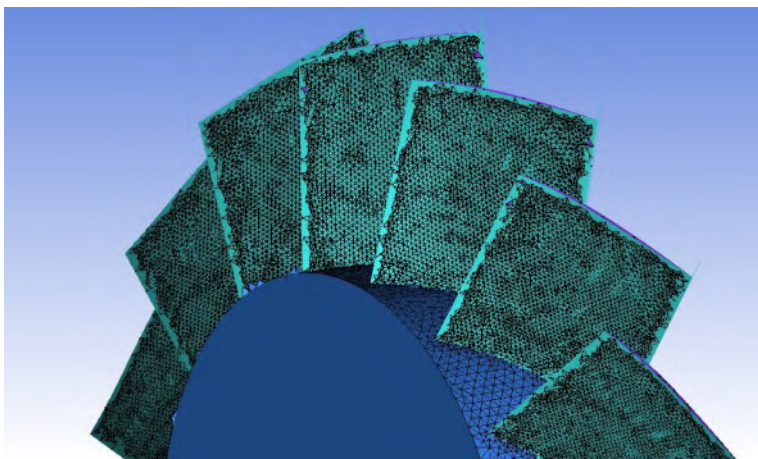
Gambar 4.1 (a)Kondisi Open, Middle, Close



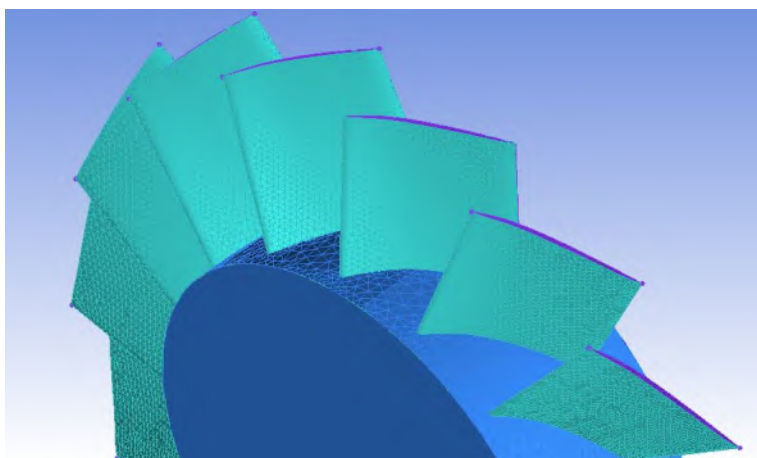
(b) Kondisi Bermasalah

4.2 Analisa Grid atau *Meshing*

Adapun hal yang paling sulit dalam persiapan simulasi ialah meningkatkan kualitas *meshing*. Kualitas *meshing* tidak ditentukan dengan kecilnya *mesh* atau jaring, tetapi kesempurnaan *mesh* yang mampu membentuk *mesh* atau *grid* mengikuti bentuk permukaan *surface* suatu benda. Gambar 4.2 (a) ialah gambaran *mesh* atau *grid* yang tidak sempurna (benar) ditunjukkan dengan tanda bentuk elips berwarna merah, sedangkan pada gambar 4.2 (b) menunjukkan bentuk *grid* atau *mesh* yang baik. Adanya ketidaksempurnaan bentuk *grid* atau *mesh* disebabkan ketidaktelitian dalam menyusun parameter-parameter geometri seperti bentuk kurva dan *surface*.



Gambar 4.2 (a) Grid yang tidak sempurna masih berlubang di leading edge



(b)Grid yang baik untuk proses selanjutnya

“halaman ini sengaja dikosongkan”

4.3 Analisa Data Simulasi CFD

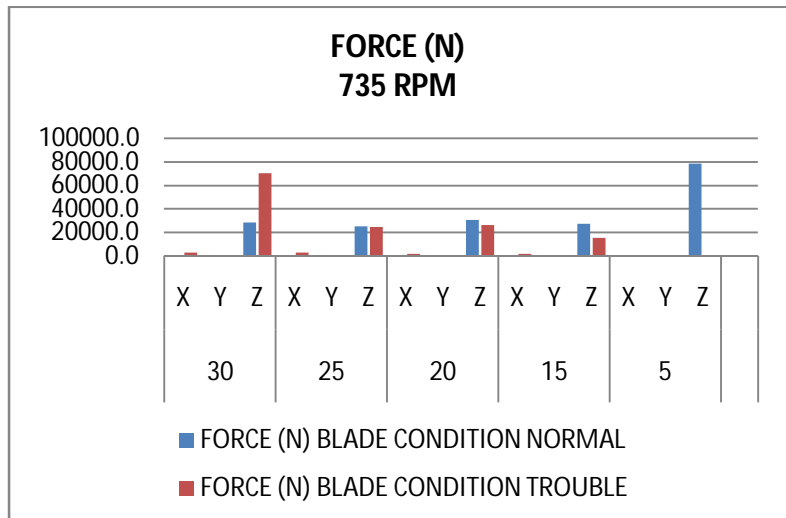
Parameter yang disimulasikan pada simulasi CFD ialah ketika *blade* beroperasi normal dan beroperasi tidak normal yaitu terdapat gangguan 3 sudut yang bermasalah terhadap sudut *pitchnya*. Dari dua kondisi tersebut terdapat 2 parameter lainnya antara lain parameter variasi putaran (RPM) pada kondisi 100% (735 rpm), 80% (588 rpm), 60% (441 rpm), 40% (294 rpm) dan 20% (147 rpm), selanjutnya parameter lainnya adalah variasi parameter sudut (*pitch*) yaitu sudut 30° (*open*), 25° , 15° , dan 5° (*Closed*).

Ketika melakukan simulasi akan didapatkan hasil yang dicari. Adapun hasil yang dicari ialah besaran gaya dan momen yang terjadi pada *blade* dan akan mempengaruhi tambahan beban pada poros ID *FAN* yang akan berpengaruh pada tumpuan poros (*bearing*) yang dipasang pada ID *FAN*. Di bawah ini akan dijabarkan hasil simulasi dan grafik pertambahan gaya.

Tabel 4.1 Perbandingan gaya yang terjadi pada *blade* putaran 100% (735 rpm)

| FORCE (N) | | | | | | |
|-----------|-----------------|--------|---------|---------|------------|----------|
| | BLADE CONDITION | NORMAL | TROUBLE | SELISIH | PERSENTASE | |
| 735 | 30 | X | 12.2 | 2875.9 | 2863.7 | 23558.0 |
| | | Y | 15.3 | 1006.9 | 991.6 | 6463.2 |
| | | Z | 29031.3 | 70448.6 | 41417.3 | 142.7 |
| | 25 | X | 149.1 | 2984.1 | 2835.0 | 1900.9 |
| | | Y | 18.3 | 24600.8 | 24582.6 | 134517.7 |
| | | Z | 25769.8 | 2984.1 | 22785.7 | 88.4 |
| | 20 | X | 70.6 | 1761.4 | 1690.9 | 2395.7 |
| | | Y | 219.6 | 595.7 | 376.1 | 171.3 |
| | | Z | 31221.8 | 26500.9 | 4720.9 | 15.1 |
| | 15 | X | 14.3 | 1738.0 | 1723.7 | 12012.5 |
| | | Y | 10.4 | 198.3 | 187.9 | 1807.9 |
| | | Z | 27821.9 | 15229.5 | 12592.4 | 45.3 |
| | 0 | X | 688.5 | 0.0 | 688.5 | 100.0 |
| | | Y | 64.9 | 0.0 | 64.9 | 100.0 |
| | | Z | 78955.6 | 0.0 | -78955.6 | -100.0 |

Pada tabel dibawah dapat dideskripsikan perbandingan gaya – gaya yang terjadi pada kondisi bermasalah yaitu kondisi 3 *blade* yang tidak sama *pitchnya* dengan kondisi normal lebih jelasnya dapat dilihat dari grafik dibawah ini.



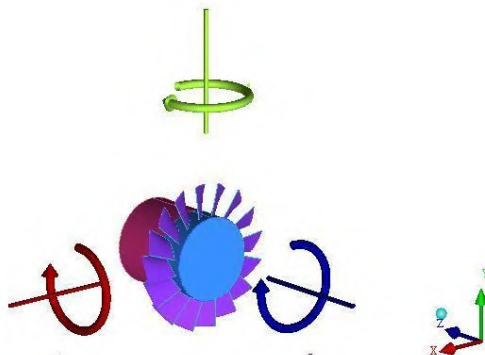
Grafik 4.1 Grafik selisih kenaikan gaya dan perbandingannya

Dari grafik 4.1 pada kondisi *open* (*pitch* 30 derajat) ada penambahan gaya aksial (arah z warna merah) sebesar 142 persen, sedangkan yang ke arah x dan y sebesar 23.558 persen dan 6.463,2. Kenaikan ini akan berpengaruh pada perhitungan y adalah nol tetapi pada kasus ini masih relatif kecil untuk kondisi normal, sedangkan pada kondisi tidak normal (*trouble*) ada kenaikan gaya yang cukup besar. Hal ini yang akan menyebabkan putaran *blade* menjadi tidak seimbang (*Unbalance*).

Di bawah ini adalah hasil pengukuran torsi dan momen yang terjadi pada *blade* dari simulasi yang telah dilakukan. Pengertian Torsi (T_z) di sini adalah putaran *blade* pada sumbu z, pada kasus ini untuk

nilai torsi untuk kondisi normal dan tidak normal tidak ada perbedaan karena energi yang dihasilkan dirubah menjadi putaran. Sedangkan pada sumbu x dan y pada *blade* menimbulkan momen puntir (M_x dan M_y) yang akan mempengaruhi distribusi tegangan pada poros ID FAN dan tumpuannya (*bearing*).

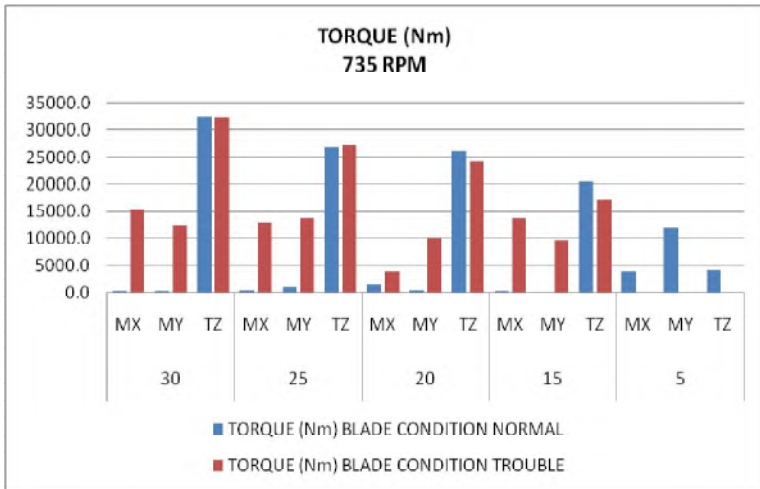
Seharusnya momen (puntiran) yang terjadi pada *blade* untuk sumbu x dan y idealnya bernilai nol atau kecil sekali, tetapi pada kondisi tidak normal ada kenaikan momen (puntiran) pada *blade* dengan sumbu x dan y yang besarnya naik lebih 100 persen. Kondisi tersebut akan menimbulkan kondisi *unbalance* pada blade, akibatnya lama-kelamaan akan menimbulkan kenaikan getaran dan *bearing* dapat cepat rusak. Visualisasi momen dan torsi pada blade dapat dilihat dari gambar di bawah ini (Gambar 4.3).



Gambar 4.3 Visualisasi momen puntir dan torsi yang terjadi pada *blade*

Tabel 4.2 Perbandingan torsi dan momen puntir yang terjadi pada blade

| TORQUE (Nm) | | | | | | |
|-------------|-----------------|-------|---------|---------|---------|------------|
| 735 Rpm | BLADE CONDITION | | NORMAL | TROUBLE | SELISIH | PERSENTASE |
| | 30 | M_x | 161,6 | 15389,7 | 15228,1 | 9422,1 |
| | | M_y | 208,9 | 12314,5 | 12105,5 | 5793,8 |
| | | T_z | 32605,2 | 32326,3 | 278,8 | 0,9 |
| | 25 | M_x | 396,6 | 12893,3 | 12496,7 | 3150,8 |
| | | M_y | 877,0 | 13752,5 | 12875,6 | 1468,2 |
| | | T_z | 26872,3 | 27265,7 | 393,5 | 1,5 |
| | 20 | M_x | 1364,3 | 3946,7 | 2582,4 | 189,3 |
| | | M_y | 415,4 | 9973,6 | 9558,3 | 2301,3 |
| | | T_z | 26192,3 | 24261,1 | 1931,3 | 7,4 |
| | 15 | M_x | 145,3 | 13739,9 | 13594,6 | 9353,8 |
| | | M_y | 4,5 | 9603,2 | 9598,7 | 214396,4 |
| | | T_z | 20422,6 | 17105,3 | 3317,3 | 16,2 |
| | 5 | M_x | 3867,9 | 0,0 | 3867,9 | 100,0 |
| | | M_y | 11857,1 | 0,0 | 11857,1 | 100,0 |
| | | T_z | 4021,7 | 0,0 | 4021,7 | 100,0 |

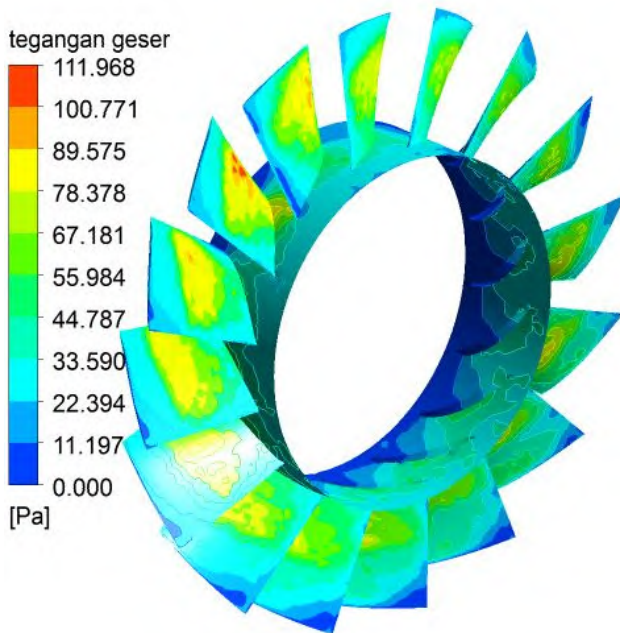


Grafik 4.2 Grafik selisih kenaikan torsi (T_Y) dan momen puntir (Mx dan My) pada blade

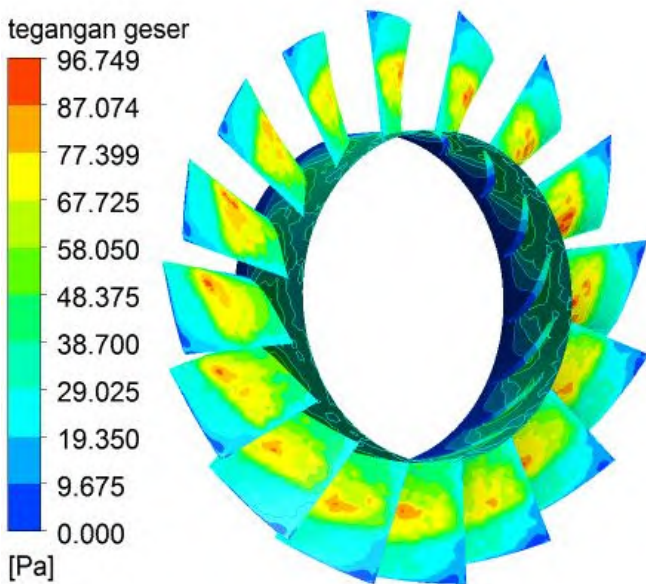
Hasil simulasi CFD diatas untuk RPM 735 (100%), sedangkan untuk rpm 80% , 60%, 40% dan 20% dapat dilihat dari lampiran laporan ini. Hasil simulasi akibat tiga *blade* sudut pitchnya tidak normal mengakibatkan distribusi gaya dan momen puntir *blade* semakin meningkat yang akan mempengaruhi distribusi gaya reaksi di tumpuan poros ID *FAN* (*bearing*).

4.4 Hasil Visualisasi Tegangan Geser

Dari gambar 4.3 a menunjukkan tegangan geser yang terjadi pada permukaan *blade* dan *hub* pada kondisi bermasalah. Nilai yang dihasilkan menunjukkan nilai yang lebih besar dibandingkan gambar gambar 4.3 (b) pada kondisi tidak bermasalah atau normal



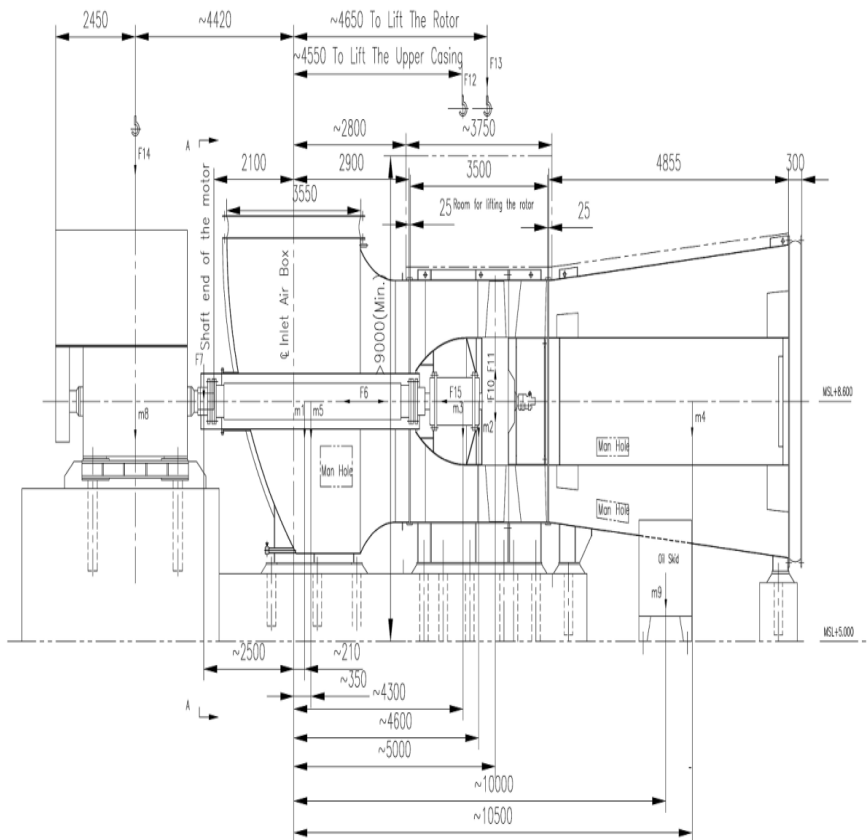
Gambar 4.4 (a) Visualisasi Tegangan Geser kondisi bermasalah



(b) Visualisasi Tegangan Geser pada kondisi Normal

4.5 Analisa tegangan pada bentangan ID FAN

Dibawah ini adalah gambar posisi komponen ID FAN dimana distribusi gaya dan berat komponen telah dijelaskan seperti gambar dibawah ini. Apabila kode F adalah besar gaya awal yang terjadi dengan besaran Newton dan Kode M adalah besar berat komponen yang terjadi dengan satuan Kg, dan detail besaran gaya dan berat dapat dilihat ditabel dibawah ini

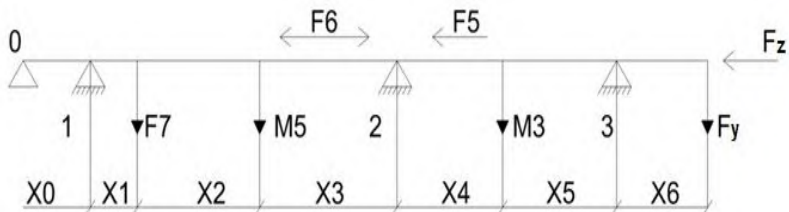


Gambar 4.5 Bentangan Induced Draft Fan

Tabel 4.3 Nilai besaran gaya dan berat komponen yang bekerja pada ID FAN

| | | | |
|-----|----------|----------|--|
| 15 | | 48657 | Axial Force Caused by Total Pressure |
| 14 | | 316000 | Dead Load of Lifting Motor |
| 13 | | 98896 | Dead Load of Lifting Rotor |
| 12 | | 99120 | Dead Load of Upper Casing |
| 11 | | 468000 | Instantaneous Limit Load Caused by unbalance(Radial) |
| 10 | | 17000 | Operating Load caused by Unbalance(Radial) |
| 9 | 4500 | | Oil Skid Dead Load |
| 8 | 31600 | | Motor+Base Dead Load |
| 7 | | 10950 | Radial Force on Motor Shaft End |
| 6 | | 10080 | Axial Force on Motor Shaft |
| 5 | 2240 | | Intermediate Shaft & Couplings |
| 4 | 8960 | | Diffuser with Insulation & Lagging |
| 3 | 11000 | | Rotor |
| 2 | 23500 | | Fan Housing with Insulation & Lagging |
| 1 | 9800 | | Suction Box With Insulation & Lagging |
| No. | Mass(Kg) | Force(N) | Name of load |

Metode yang digunakan untuk analisa distribusi tegangan pada tumpuan komponen ID FAN adalah metode Teori Tiga Momen, karena tumpuan yang terjadi lebih dari 2 tumpuan yaitu ada tiga tumpuan. Dimana tumpuan tersebut sebagai tempat *bantalan* atau *bearing* yang akan menerima gaya akibat dari gaya-gaya yang bekerja pada ID FAN. Sebelum melakukan analisa tegangan maka perlu dilakukan diagram superposisi dari bentuk sistem ID FAN pada gambar 4.5 menjadi gambar superposisi seperti gambar 4.6 dibawah ini.



Gambar 4.6 Superposisi Distribusi Gaya pada ID FAN

Keterangan

- Tumpuan/ penyangga/*bearing* motor
- Tumpuan/ penyangga/ tumpuan (*roll* dan *ball bearing*)
- Tumpuan/ penyangga/ tumpuan (*roll bearing*)

Gambar 4.5 menunjukkan data tentang gaya, berat, jarak antar gaya dan tumpukan yang harus dicari besar tegangan gaya yang terjadi

$$X_1 = 0,564 \text{ m}$$

$$X_2 = 2,54 \text{ m}$$

$$X_3 = 2,55 \text{ m} + 0,564 \text{ m} = 3,114 \text{ m}$$

Dari 2900 mm – 350 mm = 2,55 m, ditambah jarak *flange* ke *bearing* (2) 0,564 m jadi total = 3,114 m. (lihat gambar 4.4)

$$X_4 = \text{dari } (4300 \text{ mm} - 2900 \text{ mm} - 564 \text{ mm})$$

$$= (4,3 - 2,9 - 0,564) \text{ m} = 0,836 \text{ m} \text{ (lihat gambar 4.5)}$$

$$X_5 = 0,3 \text{ m} \text{ (dari } 4600 \text{ mm} - 4300 \text{ mm} = 300 \text{ mm} = 0,3 \text{ m)} \text{ (lihat gambar 4.4)}$$

$$X_6 = 0,4 \text{ m}$$

Dengan menggunakan teori tiga momen maka momen yang terjadi pada tumpuan 1,2 dan 3 harus dicari, momen tumpuan tersebut adalah M_1, M_2 dan M_3 . Maka persamaan Pertama untuk teori tiga momen antara tumpuan 0,1, dan 2 adalah

$$x_0 \mathbf{M}_0 + 2(x_0 + (x_1 + x_2 + x_3)) \mathbf{M}_1 + (x_1 + x_2 + x_3) \mathbf{M}_2 = A_1 + A_2$$

Karena tumpuan 0 pada motor diasumsikan dekat dengan motor maka, bantalan dengan motor tidak ada momen akibatnya nilai $L_0 = 0$ dan $M_0 = 0$ dimana data jarak dan momen diasumsikan kepersamaannya menjadi ;

$$2(0+0,564+2,45+3,114) M_1 + (0,564+2,45+3,114) M_2 = A_1 + A_2$$

Jadi penyederhanaan persamaan (1) menjadi ;

$$2(6,128) M_1 + (6,128) M_2 = A_1 + A_2 \dots \text{Persamaan (1)}$$

Maka persamaan A_1 dan A_2 dicari dengan persamaan dibawah ini

$$A_1 = - \sum P_{L01} ab \left(1 + \frac{a}{L_{L01}} \right)$$

= 0, karena tidak ada gaya antara tumpuan 0 dan 1.

$$A_2 = - \sum P_{R12} a'b' \left(1 + \frac{a'}{L_{R12}} \right) \frac{I_L}{I_R}$$

Dengan asumsi momen inersia bentangan ID *FAN* antara I_R dan I_L sama maka dianggap nilainya adalah 1

$$A_2 = -F_7(x_2 + x_3) \cdot x_1 \left(1 + \frac{(x_2 + x_3)}{(x_1 + x_2 + x_3)} \right) \\ - m_5 g(x_3)(x_1 + x_2) \cdot \left(1 + \frac{x_3}{(x_1 + x_2 + x_3)} \right)$$

$$A_2 = -10950 (2,45 + 3,114) (0,564) \left(1 + \frac{(2,45 + 3,114)}{6,128} \right) \\ - 2240 (9,8) (3,114) (0,564 + 2,45) \left(1 + \frac{3,114}{6,128} \right)$$

$$A_2 = -34362,15 \left(1 + \frac{5,564}{6,128} \right) - 206032,6 \left(1 + \frac{3,114}{6,228} \right)$$

$$= -65561,73 - 310729,9$$

$$= -376291,1 \text{ Nm}$$

Dari persamaan (1) maka persamaan tersebut menjadi :

$$2 (6,128) M_1 + (6,128) M_2 = A_1 + A_2 = - 376291,1 \text{ Nm}$$

Jadi :

$$\mathbf{12,256 M_1 + 6,128 M_2 = - 376.291,1 Nm}$$

Selanjutnya persamaan Kedua adalah antara tumpuan 1, 2 , dan 3

$$(x_1 + x_2 + x_3) \mathbf{M_1} + 2(x_1 + x_2 + x_3 + x_4 + x_5) \mathbf{M_2} + (x_4 + x_5) \mathbf{M_3} = \mathbf{A_3} \\ + \mathbf{A_4}$$

$$(0,564 + 2,45 + 3,114) \mathbf{M_1} + 2(0,564 + 2,45 + 3,114 + 0,836 + 0,3) \mathbf{M_2} \\ + (0,836 + 0,3) \mathbf{M_3} = \mathbf{A_3} + \mathbf{A_4}$$

$$(6,128) M_1 + 2 (7,264) M_2 + 1,136 M_3 = A_3 + A_4. \text{Persamaan (2)}$$

$$\begin{aligned}
A_3 &= \sum P_{L12} ab \left(1 + \frac{a}{L_{12}}\right) \\
&= - \left[F_7 \cdot X_1 (X + X_3) \left(1 + \frac{x_1}{(X_1 + X_2)}\right) \right] - [M_5 \cdot g \cdot X_3 (X_1 + X_2) \left(1 + \frac{(X_1 + X_2)}{(X_1 + X_2 + X_3)}\right)] \\
&= \left[10,950 (0,564) (2,445 + 3,114) \left(1 + \frac{0,564}{(0,564+2,445+3,114)}\right) \right] - \\
&\quad \left[2240 (9,8) (0,564 + 2,45) (3,114) \left(1 + \frac{(0,564+2,45)}{(0,564+2,45+3,114)}\right) \right] \\
&= -35724,72 - 307367,88 \\
&= -344,892,55 \text{ Nm}
\end{aligned}$$

$$\begin{aligned}
A4 &= - \sum P_{R23} a' \cdot b' \left(1 + \frac{a'}{L_{R23}}\right) \\
&= -M_3 \cdot g \cdot X_5 X_4 \left(1 + \frac{X_5}{(X_4 + X_5)}\right) \\
&= 11000 (9,8) (0,3) (0,836) \left(1 + \frac{0,3}{(0,836 + 0,3)}\right) \\
&= -34176,09
\end{aligned}$$

Jadi persamaan KEDUA adalah

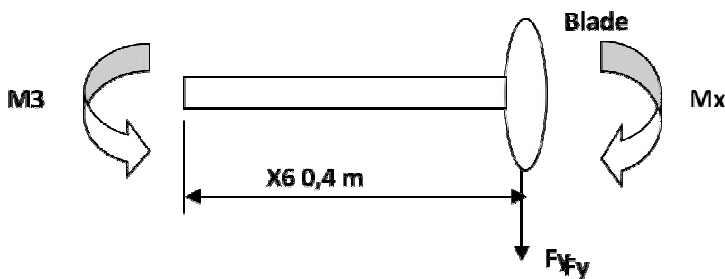
$$6,128 M_1 + 14,528 M_2 + 1,136 M_3 = -344892,55 \text{ Nm} - 34176,09 \text{ Nm}$$

Jadi hasil akhir persamaan pertama dan kedua adalah

$$1) \quad 12,256 M_1 + 6,128 M_2 = -376,291,1 \text{ Nm}$$

$$2) \quad 6,128 M_1 + 14,528 M_2 = -379068,4 - 1,136 M_3$$

Untuk nilai M_3 adalah momen yang disebabkan oleh berat *blade* dan Efek beban yang disebabkan oleh gaya – gaya yang ditimbulkan akibat rotasi *blade*. Di bawah ini gambaran tentang distribusi gaya dan momen pada potongan antara tumpuan 3 dan *blade*;



Gambar 4.7 Distribusi gaya dan momen potongan pada M_3

Dengan keseimbangan statis maka total momen puntir yang terjadi pada tumpuan 3 adalah ;

$$M_3 = M_x + F_y X_6$$

Dimana besar momen puntir M_3 ditentukan oleh nilai M_x yaitu momen puntir *blade* pada sumbu x dan gaya (beban *blade*) pada kondisi :

- 1) Kondisi A : *Operating Load Caused by unbalance (radial)* sebesar 17.000 N
- 2) Kondisi B : *Instantaneous Limit Load caused by unbalance (radial)* sebesar 468.000 N
- 3) Kondisi C : Kondisi *Balance* (tanpa pengaruh keberadaan point 1 dan 2)

Maka F_y dapat dicari dengan harga

- 1) Kondisi A : $F_{y1} = F_{10} + F_{\text{blade sumbu } y} = 17.000 \text{ N} + F_{\text{blade sumbu } y}$
- 2) Kondisi B : $F_{y2} = F_{11} + F_{\text{blade sumbu } y} = 468.000 \text{ N} + F_{\text{blade sumbu } y}$
- 3) Kondisi C : $F_{y3} = F_{\text{blade sumbu } y}$

Dimana :

$F_{\text{blade sumbu } y}$ atau F_{y3} adalah gaya yang terjadi ditimbulkan oleh putaran blade ID FAN pada saat blade normal dan blade bermasalah (*trouble*).

Karena kondisi operasional FAN dengan putaran (rpm) tetap 735 rpm dan hanya merubah *pitch* saja maka untuk analisa tegangan dilakukan pada kondisi rpm tersebut. Tabel total nilai F_{y1} , F_{y2} dan F_{y3} untuk berbagai *pitch* adalah sebagai berikut;

Tabel 4.4 (a) Nilai F_{y1} pada beban *unbalance* 17000 N

| Putaran 100 % (735 RPM) | | | | | |
|---------------------------|---------------------------------------|----------|--------------|--------------------|----------|
| Sudut Blade (Pitch) | $F_{\text{blade sumbu}} = F_{y3}$ (N) | | Gaya Awal | Total F_{y1} (N) | |
| | NORMAL | TROUBLE | | NORMAL | TROUBLE |
| 30 | 15,3 | 1.006,9 | 17 | 17.015,3 | 18.006,9 |
| 25 | 18,3 | 24.600,8 | 17 | 17.018,3 | 41.600,8 |
| 20 | 149,1 | 2.984,1 | 17 | 17.149,1 | 19.984,1 |
| 15 | 10,4 | 198,3 | 17 | 17.010,4 | 17.198,3 |

Tabel 4.4 (b) Nilai F_{y2} pada beban unbalance 468.000 N

| Putaran 100 % (735 RPM) | | | | | |
|-------------------------|----------------------------------|----------|--------------|--------------------|-----------|
| Sudut Blade (Pitch) | F_{blade} sumbu = F_{y3} (N) | | Gaya Awal | Total F_{y2} (N) | |
| | NORMAL | TROUBLE | | NORMAL | TROUBLE |
| 30 | 15,3 | 1.006,9 | 468 | 468.015,3 | 469.006,9 |
| 25 | 18,3 | 24.600,8 | 468 | 468.018,3 | 492.600,8 |
| 20 | 149,1 | 2.984,1 | 468 | 468.149,1 | 470.984,1 |
| 15 | 10,4 | 198,3 | 468 | 468.010,4 | 468.198,3 |

Pada saat *pitch* 5 derajat dan kondisi trouble, analisa CFD tidak bisa dilakukan karena gap antar *blade* sudah berhimpit, jadi tidak bisa disimulasikan dan di analisa tegangan.

Sedangkan untuk besarnya momen puntir yang terjadi pada sumbu x di *blade* (M_x) untuk putaran tetap 735 rpm dan perubahan sudut *pitch* dari hasil simulasi CFD adalah :

Tabel 4.5 Nilai Beban Puntir M_x dari hasil simulasi CFD

| Putaran 100 % (735 RPM) | | |
|-------------------------|-------------------------|----------|
| Sudut Blade (Pitch) | Momen Sumbu X (M_x) | |
| | NORMAL | TROUBLE |
| 30 | 161,6 | 15.389,7 |
| 25 | 396,6 | 12.893,3 |
| 20 | 1.364,3 | 3.946,7 |
| 15 | 145,3 | 13.739,9 |
| 5 | 3.867,9 | - |

Gabungan Gaya dan Momen yang terbesar yang bersesuaian antara gaya dan momen yang terkait maka nilai M_3 adalah :

$$M_3 = M_x + F_y X_6$$

Dimana $X_6 = 0,4$ meter maka hasilnya M_3 adalah

Tabel 4.6 (a) Nilai momen M_3 pada kondisi A

| Sudut Blade (Pitch) | (M_3) Nm | |
|------------------------------------|------------------------------|----------------|
| | NORMAL | TROUBLE |
| 30 | 6.967,8 | 22.592,4 |
| 25 | 7.203,9 | 29.533,6 |
| 20 | 8.224,0 | 11.940,4 |
| 15 | 6.949,5 | 20.619,3 |

(b) Nilai momen M_3 pada kondisi B

| Sudut Blade (Pitch) | (M_3) Nm | |
|------------------------------------|------------------------------|----------------|
| | NORMAL | TROUBLE |
| 30 | 187.367,8 | 202.992,4 |
| 25 | 187.603,9 | 209.933,6 |
| 20 | 188.624,0 | 192.340,4 |
| 15 | 187.349,5 | 201.019,3 |

c) Nilai momen M_3 pada kondisi C

| Sudut Blade (Pitch) | (M3) Nm | |
|---------------------------|---------|----------|
| | NORMAL | TROUBLE |
| 30 | 167,8 | 15.792,4 |
| 25 | 403,9 | 22.733,6 |
| 20 | 1.424,0 | 5.140,4 |
| 15 | 149,5 | 13.819,3 |

Dari M_3 ini maka nilai M_1 dan M_2 dapat dicari hasilnya dan dapat untuk menentukan gaya radial yang terjadi pada tumpuan poros ID *FAN*. Dari persamaan (1) dan (2) maka nilai M_1 dan M_2 adalah :

Tabel 4.7 (a) Nilai momen M_1 dan M_2 pada kondisi A

| Sudut Blade (Pitch) | M_2 | | M_1 | |
|---------------------------|-----------|-----------|-----------|-----------|
| | Normal | Trouble | Normal | Trouble |
| 30 | -17.343,9 | -18.890,8 | -22.030,6 | -21.257,2 |
| 25 | -17.367,3 | -19.577,9 | -22.019,0 | -20.913,6 |
| 20 | -17.468,3 | -17.836,2 | -21.968,5 | -21.784,5 |
| 15 | -17.342,1 | -18.695,4 | -22.031,6 | -21.354,9 |

(b) Nilai momen M_1 dan M_2 pada kondisi B

| Sudut Blade (Pitch) | M_2 | | M_1 | |
|---------------------------|-----------|-----------|-----------|-----------|
| | Normal | Trouble | Normal | Trouble |
| 30 | -35.203,5 | -36.750,4 | -13.100,8 | -12.327,4 |
| 25 | -35.226,9 | -37.437,5 | -13.089,2 | -11.983,8 |
| 20 | -35.327,9 | -35.695,8 | -13.038,7 | -12.854,7 |
| 15 | -35.201,7 | -36.555,0 | -13.101,8 | -12.425,1 |

(c) Nilai momen M_1 dan M_2 pada kondisi C

| Sudut Blade (Pitch) | M_2 | | M_1 | |
|---------------------------|-----------|-----------|----------|----------|
| | Normal | Trouble | Normal | Trouble |
| 30 | -16.670,7 | -18.217,6 | -22367,2 | -21593,8 |
| 25 | -16.694,1 | -18.904,7 | -22355,6 | -21250,2 |
| 20 | -16.795,1 | -17.163,0 | -22305,1 | -22121,1 |
| 15 | -16.668,9 | -18.022,2 | -22368,2 | -21691,5 |

Dari data M_1 dan M_2 maka gaya radial yang terjadi pada *bearing* dapat dicari

Untuk mencari gaya radial yang terjadi pada tumpuan 3 (atau *bearing* dekat *blade*) adalah sebagai berikut ;

$$M_2 = F_y(x_4 + x_5 + x_6) + M_x - F_{r3}(x_4 + x_5) + m_3 \cdot g \cdot x_4$$

Maka nilai F_{r3} adalah

$$F_{r3} = \frac{F_y(x_4 + x_5 + x_6) + M_x + m_3 \cdot g \cdot x_4 - M_2}{(x_4 + x_5)}$$

Dengan memasukan nilai-nilai yang didapat sebelumnya maka F_{r3} besarnya bisa dicari dan hasilnya adalah;

Tabel 4.8 (a) Nilai F_{r3} pada kondisi A

| Pitch | F_{r3} (N) | |
|-------|--------------|---------|
| | Normal | Trouble |
| 30 | 3,1 | 7,2 |
| 25 | 3,3 | 6,4 |
| 20 | 3,2 | 5,8 |
| 15 | 3,7 | 3,5 |

(b) Nilai F_{r3} pada kondisi B

| Pitch | F_{r3} (N) | |
|-------|--------------|-----------|
| | Normal | Trouble |
| 30 | 681.294,4 | 694.678,5 |
| 25 | 681.484,7 | 723.777,7 |
| 20 | 682.424,6 | 688.207,1 |
| 15 | 681.275,0 | 692.304,8 |

(c) Nilai F_{r3} pada kondisi C

| Pitch | F_{r3} (N) | |
|-------|--------------|-----------|
| | Normal | Trouble |
| 30 | 64.819,8 | 78.203,9 |
| 25 | 65.010,0 | 107.303,0 |
| 20 | 65.949,9 | 71.732,5 |
| 15 | 64.800,4 | 75.830,2 |

Selanjutnya mencari nilai gaya reaksi atau gaya radial pada tumpuan 2 adalah persamaan keseimbangan momen pada tumpuan

$$M_1 = F_y (X_1+X_2+X_3+X_4+X_5+X_6) + Mx - F_{r3} (X_1+X_2+X_3+X_4+X_5) + m_3 \cdot g (X_1+X_2+X_3+X_4) - F_r (X_1+X_2+X_3) + m_3 \cdot g (X_1+X_2) + (F_7 \cdot X_1)$$

$$F_{r2} = \frac{-M1+Fy(X1+X2+X3+X4+X5+X6)+Mx-Fr3(X1+X2+X3+X4+X5)}{(X1+X2+X3)} + \frac{m3.g.(X1+X2+X3+X4)+M5.g.(X1+X2)+F7.X1}{X1+X2+X3}$$

Maka nilai F_{r2} adalah :

Tabel 4.9 (a) Nilai Gaya F_{r2} pada kondisi A

| Pitch | Fr2 (N) | |
|--------------|----------------|----------------|
| | Normal | Trouble |
| 30 | 55.886,2 | 43.618,1 |
| 25 | 55.700,7 | 38.168,0 |
| 20 | 54.899,8 | 51.981,8 |
| 15 | 55.900,5 | 45.167,4 |

(b) Nilai Gaya F_{r2} pada kondisi B

| Pitch | Fr2 (N) | |
|--------------|----------------|----------------|
| | Normal | Trouble |
| 30 | -85.759,1 | -98.027,1 |
| 25 | -85.944,5 | -103.477,2 |
| 20 | -86.745,4 | -89.663,4 |
| 15 | -85.744,7 | -96.477,8 |

(c) Nilai Gaya F_{r2} pada kondisi C

| Pitch | Fr2 (N) | |
|-------|----------|----------|
| | Normal | Trouble |
| 30 | 61.225,3 | 48.957,2 |
| 25 | 61.039,9 | 43.507,2 |
| 20 | 60.239,0 | 57.321,0 |
| 15 | 61.239,7 | 50.506,5 |

4.6 Analisa umur pakai bantalan (*life time bearing*)

Setelah mendapatkan hasil besarnya gaya yang terjadi pada tumpukan 2 dan 3, maka perhitungan selanjutnya adalah menganalisa umur pakai bantalan (*bearing*) yang dipasang pada di kedua tumpuan tersebut akibat pengaruh kondisi normal dan kondisi bermasalah (sudut *blade* sudut *pitch* tidak *uniform*)

Untuk menganalisa umur bantalan data yang dibutuhkan adalah data gaya yang bekerja pada bantalan yaitu gaya radial dan gaya aksial serta data *Basic Dynamic Load Rating* Cr dan *Basic Static Load Rating* Cor.

Dari data bantalan (*bearing*) yang ada maka nilai Cr = 1.720.000 N dan Cor = 2.280.000 N dan gaya radial yang bekerja pada tumpuan 2 dan 3 dapat dilihat di tabel 4.8 (a) dan (b) serta tabel 4.9 (a) dan (b). sedangkan gaya aksial yang terjadi adalah

$$Fa = F_{awal} + F_{blade}$$

Dimana $F_{awal} = F_{15} = 48.657$ N dapat dilihat di gambar 4.4 dan tabel 4.3 , sedangkan F_{blade} didapat dari simulasi CFD pada kondisi normal dan *trouble*. Jadi nilai total Fa pada putaran 735 rpm dan variasi pitch hasilnya seperti tabel dibawah ini :

Tabel 4.10 Nilai Total F *axial*

| Sudut Blade (Pitch) | F awal (N) | F Blade (N) | | Total Fa (N) | |
|---------------------------|------------|-------------|----------|--------------|-----------|
| | | Normal | Trouble | Normal | Trouble |
| 30 | 48.657 | 29.031,3 | 70.448,6 | 77.688,3 | 119.105,6 |
| 25 | 48.657 | 25.769,8 | 24.600,8 | 74.426,8 | 73.257,8 |
| 20 | 48.657 | 31.221,8 | 26.500,9 | 79.878,8 | 75.157,9 |
| 15 | 48.657 | 27.821,9 | 15.229,5 | 76.478,9 | 63.886,5 |

Selanjutnya menghitung rasio gaya aksial (Fa) terhadap *basic static load rating* (Cor) dimana hasilnya untuk mendapatkan nilai e seperti tabel 4.11 di bawah ini :

Tabel 4.11 Nilai Xr dan Ya
Factors V, X, and Y for Radial Bearings

| Bearing Type | | | In Relation to the Load on the Inner Ring is | | Single Row Bearings 1) | | Double Row Bearings 2) | | e |
|--|----------------------|---------------------------|--|--------------------------------------|--------------------------------------|---|--------------------------------------|--------------------------------------|--------------------------------------|
| | | | | | $\frac{F_a}{V F_r} > \epsilon$ | | $\frac{F_a}{V F_r} \leq \epsilon$ | | |
| | | | V | V | X | Y | X | Y | |
| 3) Radial Contact Groove Ball Bearings | 4) $\frac{F_a}{G_0}$ | 5) $\frac{F_a}{iZ D_0^2}$ | | | | | | | |
| 0.014 0.028 0.056 | 25 50 100 | | | | 2.30 1.99 1.71 | | | | 2.30 1.99 1.71 |
| 0.084 0.11 0.17 | 150 200 300 | 1 | 1.2 | 0.56 | 1.55 1.45 1.31 | 1 | 0 | 0.56 | 1.55 1.45 1.31 |
| 0.28 0.42 0.56 | 500 750 1000 | | | | 1.15 1.04 1.00 | | | | 1.15 1.04 1.00 |
| 20° 25° 30° 35° 40° | | 1 | 1.2 | 0.43 0.41 0.39 0.37 0.35 | 1.00 0.87 0.76 0.66 0.57 | 1 | 1.09 0.92 0.78 0.66 0.55 | 0.70 0.67 0.63 0.60 0.57 | 1.63 1.44 1.24 1.07 0.93 |
| Self-Aligned Ball Bearings | | 1 | 1 | 0.40 | 0.4 cot α | 1 | 0.42 cot α | 0.65 | 0.65 cot α |
| Self-Aligned and Tapered Roller Bearings | | 1 | 1.2 | 0.40 | 0.4 cot α | 1 | 0.45 cot α | 0.67 | 0.67 cot α |
| | | | | | | | | | 1.5 tan α |

Hasil dari rasio Fa/Cor dapat dilihat tabel 4.12 dan nilai e dengan interpolasi pada tabel 4.11 hasilnya sebagai berikut :

Tabel 4.12 Nilai Fa/Cor untuk mendapatkan nilai e

| Sudut Blade (Pitch) | Fa/Cor | | Fa/Cor | |
|---------------------|--------|---------|---------|------|
| | Normal | E | Trouble | e |
| 30 | 0,0341 | 0,22868 | 0,052 | 0,25 |
| 25 | 0,0326 | 0,22663 | 0,032 | 0,23 |
| 20 | 0,0350 | 0,23005 | 0,033 | 0,23 |
| 15 | 0,0335 | 0,22792 | 0,028 | 0,22 |

Langkah selanjutnya adalah mencari nilai perbandingan gaya aksial terhadap gaya radial $F_a/(V.Fr)$, karena $V = 1$ dimana lubang dalam

bergerak maka persamaan menjadi F_a/F_r . Hasil F_a/F_r untuk kondisi normal dan *trouble* pada kondisi A, B dan C adalah;

Tabel 4.13 Nilai rasio gaya aksial terhadap gaya radial kondisi A, B, C

| Sudut Blade (Pitch) | Fa/Fr pada Kondisi A | | Fa/Fr pada Kondisi B | | Fa/Fr pada Kondisi C | |
|---------------------------|----------------------|---------|----------------------|---------|----------------------|---------|
| | Normal | Trouble | Normal | Trouble | Normal | Trouble |
| 30 | 0,89 | 1,18 | 0,11 | 0,17 | 1,20 | 1,52 |
| 25 | 0,85 | 0,56 | 0,11 | 0,10 | 1,14 | 0,68 |
| 20 | 0,90 | 0,80 | 0,12 | 0,11 | 1,21 | 1,05 |
| 15 | 0,88 | 0,65 | 0,11 | 0,09 | 1,18 | 0,84 |

Untuk mendapatkan besar nilai ekivalen maka persamaannya adalah :

$$P = X_r \cdot V \cdot F_r + Y_a \cdot F_a$$

Dengan membandikan nilai e dari tabel 4.12 dengan nilai F_a/F_r dari tabel 4.13 maka akan didapat nilai X_r dan Y_a . Dimana pada kondisi A dan C nilai $F_a/F_r > e$ dan pada kondisi B nilai $F_a/F_r < e$ untuk semua kondisi *pitch* yang berbeda. Untuk mendapatkan nilai X_r dan Y_a pada kondisi B dengan tabel 4.11 maka nilai $X_r = 1$ dan $Y_a = 0$, artinya gaya radial lebih mendominasi beban *bearing*.

Sedangkan untuk kondisi A dan C maka nilai X_r dan Y_a dari tabel 4.11 adalah sebagai berikut :

Tabel 4.14 Nilai Xr dan Ya

| Sudut Blade (Pitch) | Fa/Cor | | Xr | Ya | Fa/Cor | | Xr | Ya |
|---------------------------|--------|---------|------|---------|---------|------|------|-----------|
| | Normal | e-11 | | | Trouble | e-12 | | |
| 30 | 0,0341 | 0,22868 | 0,56 | 192,926 | 0,052 | 0,25 | 0,56 | 1,747,607 |
| 25 | 0,0326 | 0,22663 | | 194,357 | 0,032 | 0,23 | | 1,948,694 |
| 20 | 0,0350 | 0,23005 | | 191,965 | 0,033 | 0,23 | | 194,036 |
| 15 | 0,0335 | 0,22792 | | 193,457 | 0,028 | 0,22 | | 1,989,796 |

Selanjutnya dicari nilai P (beban ekuivalen) pada tiga kondisi A, B dan C:

Tabel 4.15 Nilai P Beban Ekuivalen dengan Kondisi A, B dan C

| Sudut Blade (Pitch) | Beban Ekuivalen (P) pada Kondisi A (N) | | Beban Ekuivalen (P) pada Kondisi B (N) | | Beban Ekuivalen (P) pada Kondisi C (N) | |
|---------------------------|--|-----------|--|-----------|--|-----------|
| | Normal | Trouble | Normal | Trouble | Normal | Trouble |
| 30 | 198.720,4 | 286.120,3 | 681.294,4 | 694.678,5 | 186.180,2 | 273.580,0 |
| 25 | 193.599,4 | 215.011,5 | 681.484,7 | 723.777,7 | 181.059,1 | 202.471,2 |
| 20 | 202.811,9 | 196.987,6 | 682.424,6 | 688.207,1 | 190.271,6 | 184.447,3 |
| 15 | 196.781,9 | 178.597,9 | 681.275,0 | 692.304,8 | 184.241,7 | 166.057,7 |

Setelah di dapat beban ekuivalen, maka langkah selanjutnya mencari umur bantalan dengan rumus sebagai berikut :

$$L = \left(\frac{Cr}{P} \right)^3 \text{ dalam jutaan putaran}$$

Maka besar umur bantalan pada tumpuan 3 (*bearing dekat Blade*) yaitu ;

Tabel 4.16 Umur Bantalan (*bearing*) di tumpuan 3 pada Kondisi A, B dan C

| Sudut Blade (Pitch) | $L = \left(\frac{Cr}{P}\right)^3$ dalam hari (Kondisi A) | | $L = \left(\frac{Cr}{P}\right)^3$ dalam hari (Kondisi B) | | $L = \left(\frac{Cr}{P}\right)^3$ dalam hari (Kondisi C) | |
|---------------------------|---|---------|---|---------|---|---------|
| | Normal | Trouble | Normal | Trouble | Normal | Trouble |
| 30 | 612,6 | 259,9 | 15,2 | 14,3 | 745,0 | 300,6 |
| 25 | 662,6 | 481,1 | 15,2 | 12,7 | 810,0 | 576,0 |
| 20 | 576,3 | 614,3 | 15,1 | 14,7 | 697,9 | 747,1 |
| 15 | 630,9 | 795,8 | 15,2 | 14,5 | 768,7 | 985,7 |

Untuk mengetahui umur *bearing* pada tumpuan 2 maka data gaya radial dan aksial untuk beban ekuivalen dapat dicari di tabel 4.9. Dengan cara yang sama untuk mencari umur bantalan di tumpuan 3, maka umur bantalan (*bearing*) di tumpuan 2 dapat di lihat di tabel 4.17.

Tabel 4.17 Umur Bantalan (bearing) di tumpuan 2 pada Kondisi A, B dan C

| Sudut Blade (Pitch) | $L = \left(\frac{Cr}{P}\right)^3$ dalam hari (Kondisi A) | | $L = \left(\frac{Cr}{P}\right)^3$ dalam hari (Kondisi B) | | $L = \left(\frac{Cr}{P}\right)^3$ dalam hari (Kondisi C) | |
|---------------------------|---|---------|---|---------|---|---------|
| | Normal | Trouble | Normal | Trouble | Normal | Trouble |
| 30 | 2.883,0 | 775,2 | 620,2 | 264,1 | 3.112,6 | 814,4 |
| 25 | 3.291,5 | 2.688,2 | 671,0 | 594,7 | 3.566,1 | 2.897,1 |
| 20 | 2.609,2 | 3.023,2 | 584,0 | 638,1 | 2.809,8 | 3.267,9 |
| 15 | 3.028,9 | 4.553,5 | 638,8 | 808,8 | 3.274,3 | 4.979,3 |

4.7 Hasil Analisa

Dari hasil yang di jabarkan pada point 4.3 dan 4.4 menunjukan bahwa secara garis besar adanya perbedaan *pitch* pada *blade* menyebabkan kenaikan beban (gaya) dan momen puntir pada sumbu x dan y di *blade*, sehingga menyebabkan putaran *blade* menjadi tidak seimbang (*Unbalance*). Hal ini akan mempengaruhi beban kerja *bearing* pada ID *FAN* dimana gaya yang berubah drastis tersebut akan mempercepat kerusakan atau mempercepat *life time* dari *bearing* yang bekerja.

Hasil akhir perhitungan umur *bearing* di tumpuan 3 pada kondisi A dan C serta putaran normal pada tabel 4.16 menunjukan umur *bearing* masih di kisaran antara 2 tahun berjalan. Dan putaran *trouble* (*pitch blade* tidak *uniform*) menunjukan penurunan umur bantalan, terutama pada bukaan sudut *pitch* 30 dimana umur *bearing* sekitar 259,9 hari dan 300,6 hari atau sekitar 8-10 bulan. Artinya umur *bearing* akan berkurang maksimal 50 persen dari UMUR DESAIN *bearing*. Dari perhitungan diatas menunjukan UMUR DESAIN *bearing* harus dirubah dengan mencari *bearing* dengan Cr dan Cor diatas 2.400.000 N agar umur *bearing* mampu bertahan hingga 5 tahun atau diatas 3.000.000 N untuk bertahan hingga 10 tahun.

Untuk kondisi beban *limit* (ektreem) karena pengaruh *unbalance blade* yaitu kondisi B menunjukan umur *bearing* tinggal 14-15 hari. Dari sini kondisi kritis karena *unbalance* akibat sudut *blade* yang tidak *uniform* antara 14 – 259 hari untuk bukaan *pitch* 30. Sedangkan pada bukaan sudut (*pitch*) antara 15 dan 20 pada putaran *trouble* umur lebih lama hal ini disebabkan nilai torsi menurun, tapi tidak begitu signifikan dengan umur desain *bearing*.

Pada tumpuan 2 (lihat tabel 4.17) dimana umur *bearing* pada putaran normal dan pada kondisi A dan C masih di kisaran 7-10 tahun

(2.609 – 3.566 hari), sedangkan pada putaran *trouble* umur *bearing* dikisaran 2 tahun (775,2-814,4 hari). Sedangkan pada kondisi ekstrem (limit) dan putaran normal pada kondisi B umur bantalan (*bearing*) sekitar 21 bulan dan pada putaran *trouble* sekitar 8-9 bulan.

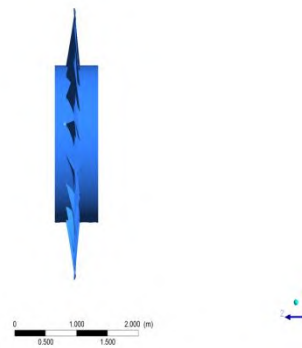
Untuk mencapai pada kondisi B, ID *FAN* sudah menunjukan getaran dan kinerja ID *FAN* sudah tidak normal, artinya sebelum mencapai kondisi tersebut sebaiknya operator harus menghentikan operasi ID *FAN*.

“Halaman ini sengaja dikosongkan”

LAMPIRAN

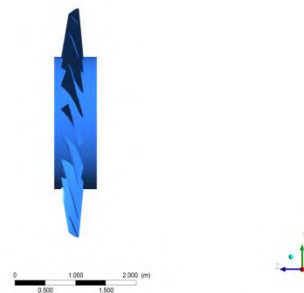
Pitch 0°

ANSYS



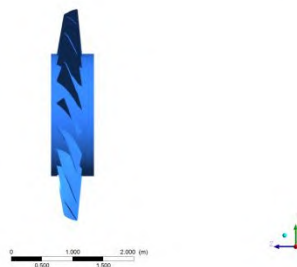
Pitch 15°

ANSYS



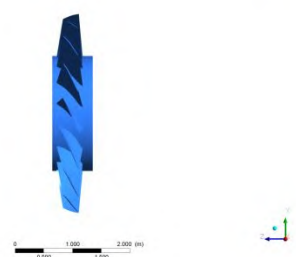
Pitch 20°

ANSYS



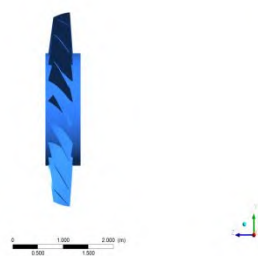
Pitch 25°

ANSYS

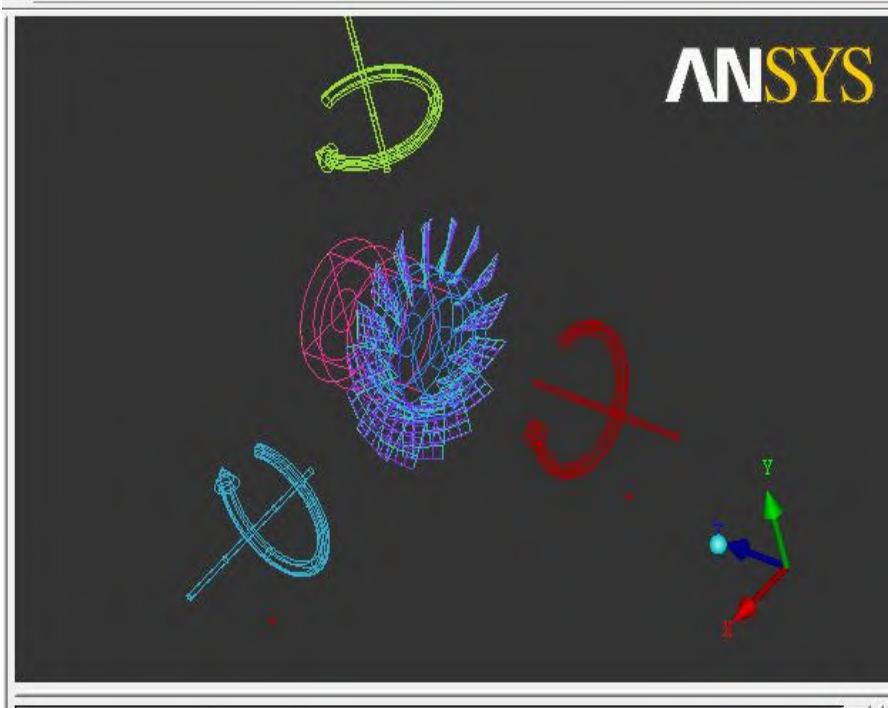


Pitch 30°

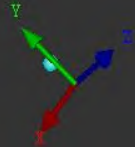
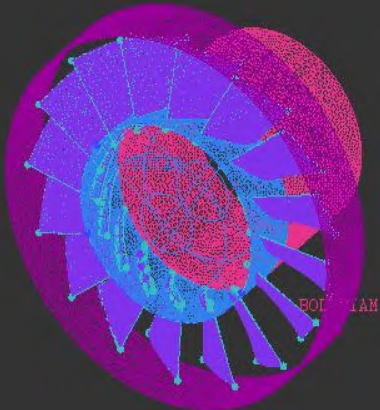
ANSYS

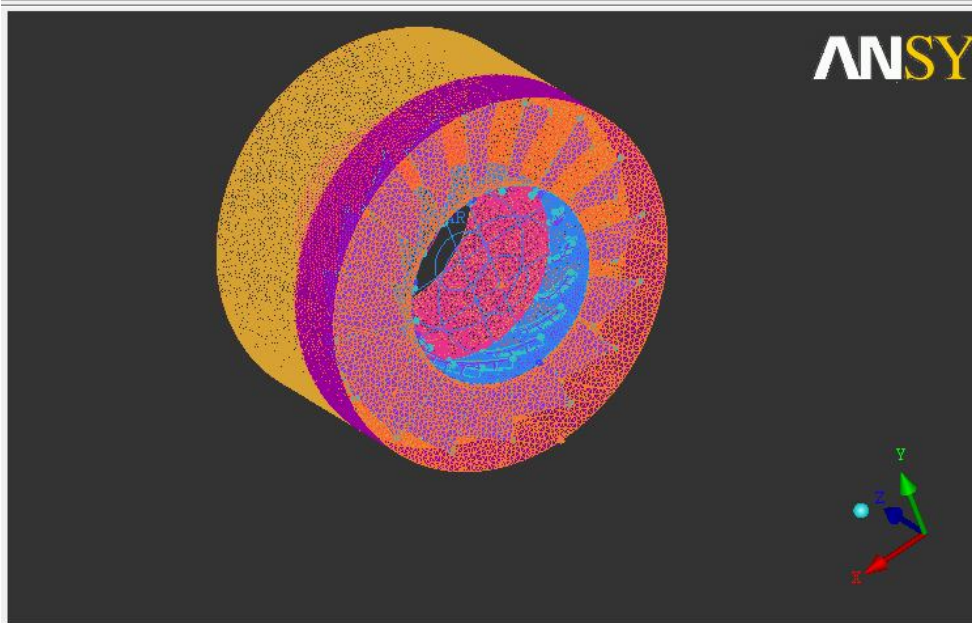


ANSYS

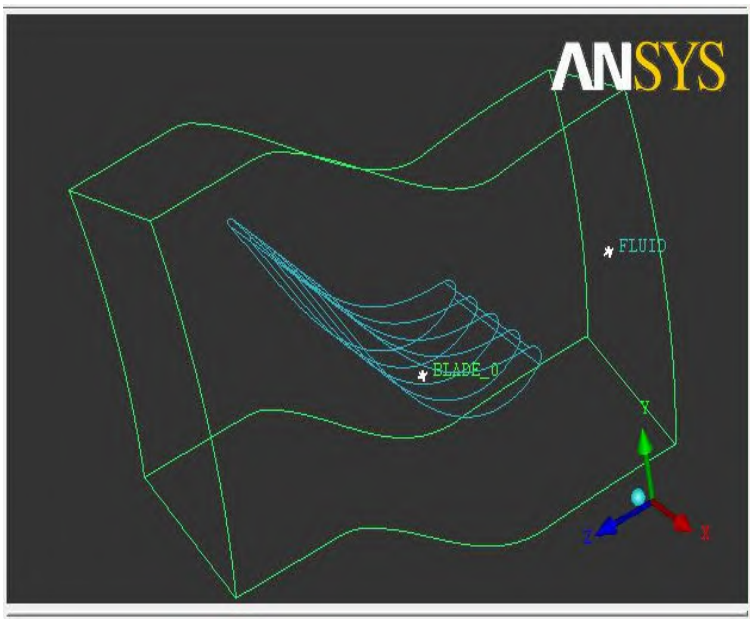


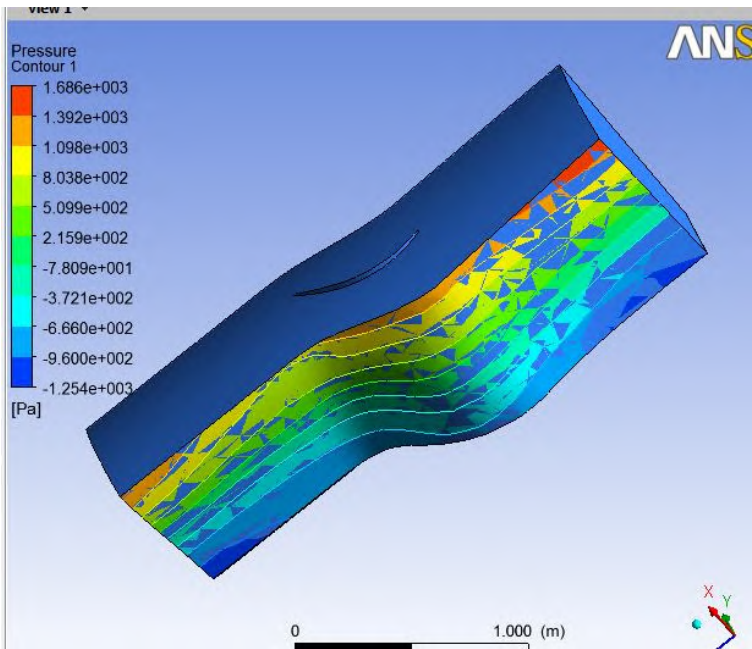
ANSYS

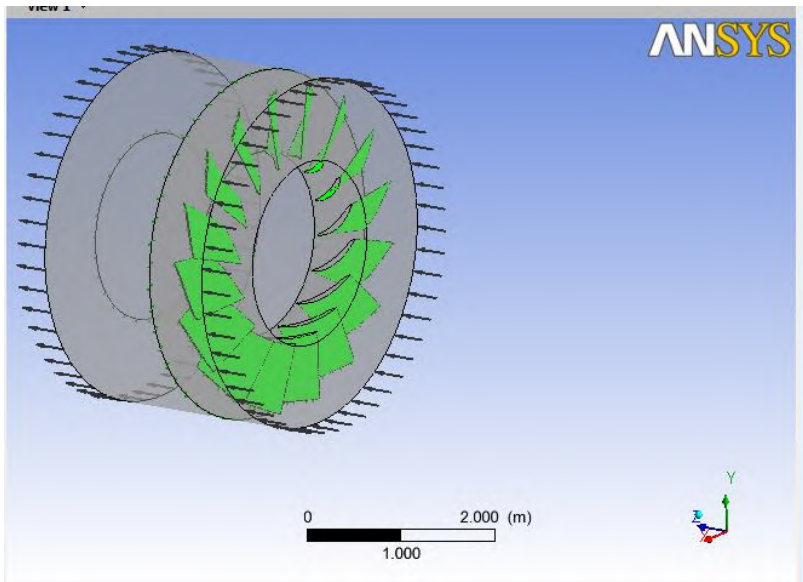




ANSYS







HASIL PENGAMBILAN DATA HUB CFD

| NORMAL CONDITION | | | | | | |
|------------------|-----------|---------|---------|-------------|----------|---------|
| BLADE CONDITION | FORCE (N) | | | TORQUE (Nm) | | |
| | X | Y | Z | X | Y | Z |
| OPEN | 3.46225 | 316.129 | 79.0877 | -1951.97 | -31.7256 | 82.0762 |
| MIDLE | 9.66363 | 236.697 | 80.0097 | -1472.26 | -163.774 | 89.489 |
| CLOSED | 3580.26 | 733.246 | 19.676 | -4673.59 | 22357 | 89.5413 |

| 3 BLADE TROUBLE CONDITION | | | | | | |
|---------------------------|-----------|---------|---------|-------------|---------|---------|
| BLADE CONDITION | FORCE (N) | | | TORQUE (Nm) | | |
| | X | Y | Z | X | Y | Z |
| OPEN | 411.844 | 1508.04 | 84.7923 | -9477.96 | 2348.57 | 91.6075 |
| MIDLE | 737.807 | 1471.58 | 83.9558 | -9281.01 | 4460.66 | 87.6082 |
| CLOSED | | | | | | |

| 735 rpm | NORMAL CONDITION | | | | | | |
|---------------------------|------------------|-----------|---------|-------------|-------------|---------|---|
| | BLADE CONDITION | FORCE (N) | | | TORQUE (Nm) | | |
| | | X | Y | Z | X | Y | Z |
| 30 | -3.46225 | 316.129 | 79.0877 | -1951.97 | -31.7256 | 82.0762 | |
| 25 | -24.5165 | 236.697 | 80.0097 | -1472.26 | -163.774 | 89.489 | |
| 20 | -248.836 | 34.7633 | 60.0595 | -214.039 | -1547.45 | 82.4917 | |
| 15 | -40.3261 | -35.4305 | 67.0972 | 222.957 | -252.798 | 91.4455 | |
| 0 | 3580.26 | 733.246 | 19.676 | -4673.59 | 22357 | 89.5413 | |
| 3 BLADE TROUBLE CONDITION | | | | | | | |
| BLADE CONDITION | FORCE (N) | | | TORQUE (Nm) | | | |
| | X | Y | Z | X | Y | Z | |
| 30 | 411.844 | 1508.04 | 84.7923 | -9477.96 | 2348.57 | 91.6075 | |
| 25 | 737.807 | 1471.58 | 83.9558 | -9281.01 | 4460.66 | 87.6082 | |
| 20 | -285.643 | 1682.62 | 55.764 | -10588.9 | -1825.64 | 80.6778 | |
| 15 | -0.23268 | 3323.2 | 43.009 | -20799.6 | -10.4682 | 109.093 | |
| 0 | | | | | | | |

HASIL PENGAMBILAN DATA HUB CFD

| | | NORMAL CONDITION | | | | | | | |
|-----|---------------------------|---------------------------|-----------|----------|-------------|-------------|----------|---------|--|
| | | BLADE CONDITION | FORCE (N) | | | TORQUE (Nm) | | | |
| | | | X | Y | Z | X | Y | Z | |
| 588 | 30 | -40.6277 | 153.753 | 51.3028 | -952.361 | -257.27 | 52.9396 | | |
| | 25 | -26.091 | 50.9989 | 49.2658 | -316.81 | -167.063 | 55.6146 | | |
| | 20 | -58.9524 | -0.31734 | 43.6219 | 0.521887 | -366.237 | 58.2794 | | |
| | 15 | -13.5424 | -26.5296 | 47.9237 | 167.766 | -84.9202 | 66.0717 | | |
| | 0 | 3811.86 | 302 | 246 | -1955.93 | 23846.1 | 70.1041 | | |
| | 3 BLADE TROUBLE CONDITION | | | | | | | | |
| | BLADE CONDITION | FORCE (N) | | | TORQUE (Nm) | | | | |
| | | X | Y | Z | X | Y | Z | | |
| | 30 | 22.0546 | 881.654 | 54.9633 | -5515.15 | 62.5576 | 56.0034 | | |
| | 25 | -83.7475 | 858.488 | 53.858 | -5382.03 | -561.13 | 55.9474 | | |
| | 20 | 197.201 | 1529.55 | 41.5594 | -9612.81 | 1195.47 | 58.5235 | | |
| | 15 | 10.0578 | 3276.31 | 31.1957 | -20511.4 | 46.8114 | 77.2448 | | |
| | 0 | | | | | | | | |
| 441 | | NORMAL CONDITION | | | | | | | |
| | | BLADE CONDITION | FORCE (N) | | | TORQUE (Nm) | | | |
| | | | X | Y | Z | X | Y | Z | |
| | | 30 | -42.3955 | 52.8242 | 31.469 | -327.611 | -266.456 | 32.2925 | |
| | | 25 | -14.9371 | 11.0858 | 33.3307 | -67.7669 | -94.6355 | 36.9424 | |
| | | 20 | -1.77352 | 12.0193 | 31.2908 | -76.4389 | -10.2188 | 40.3555 | |
| | | 15 | -6.38759 | -26.6559 | 32.5071 | 168.738 | -40.1737 | 45.8481 | |
| | | 0 | 3086.31 | -249.685 | 27.489 | 1539.82 | 19.302.7 | 52.5819 | |
| | | 3 BLADE TROUBLE CONDITION | | | | | | | |
| | | BLADE CONDITION | FORCE (N) | | | TORQUE (Nm) | | | |
| | | | X | Y | Z | X | Y | Z | |
| | | 30 | 19.3078 | 586.96 | 34.6128 | -3662.57 | 95.4736 | 35.7225 | |
| | | 25 | 25.8917 | 810.724 | 34.8654 | -5080.57 | 138.957 | 37.7969 | |
| | | 20 | 157.155 | 1348.98 | 29.1965 | -8478.27 | 956.86 | 39.781 | |
| | | 15 | -156.066 | 3290.67 | 21.6036 | -20620.4 | -997.814 | 52.8727 | |
| | | 0 | | | | | | | |

HASIL PENGAMBILAN DATA HUB CFD

294

| BLADE CONDITION | NORMAL CONDITION | | | | | |
|-----------------|------------------|----------|---------|-------------|----------|---------|
| | FORCE (N) | | | TORQUE (Nm) | | |
| | X | Y | Z | X | Y | Z |
| 30 | -13.1937 | 13.5152 | 22.0186 | -83.7563 | -83.3119 | 21.5915 |
| 25 | -10.2211 | -2.20108 | 22.2904 | 14.4731 | -64.3009 | 23.7851 |
| 20 | 7.76142 | 11.1597 | 20.4356 | -70.4693 | 49.3591 | 25.1711 |
| 15 | -44.8949 | -56.3712 | 20.5605 | 356.05 | -280.521 | 30.2102 |
| 0 | 5229.6 | -2579.4 | 17.2759 | 16205.7 | 32847.4 | 45.0981 |

| BLADE CONDITION | 3 BLADE TROUBLE CONDITION | | | | | |
|-----------------|---------------------------|---------|---------|-------------|----------|---------|
| | FORCE (N) | | | TORQUE (Nm) | | |
| | X | Y | Z | X | Y | Z |
| 30 | 41.6396 | 518.624 | 20.458 | -3240.92 | 243.917 | 22.7555 |
| 25 | 29.808 | 763.894 | 21.0751 | -4789.34 | 169.884 | 24.6195 |
| 20 | -0.69886 | 1541.21 | 20.4545 | -9689.33 | -26.9054 | 26.7503 |
| 15 | -196.509 | 3351.98 | 14.7843 | -21036 | -1254.78 | 35.6265 |
| 0 | | | | | | |

147

| BLADE CONDITION | NORMAL CONDITION | | | | | |
|-----------------|------------------|----------|---------|-------------|----------|---------|
| | FORCE (N) | | | TORQUE (Nm) | | |
| | X | Y | Z | X | Y | Z |
| 30 | -22.4776 | 11.1724 | 10.2476 | -72.2394 | -140.406 | 10.8104 |
| 25 | 52.3193 | -66.0703 | 11.3443 | 413.725 | 324.387 | 13.0623 |
| 20 | 60.9522 | 10.5344 | 11.4617 | -65.2942 | 381.583 | 15.5362 |
| 15 | -253.406 | -161.053 | 10.6078 | 1015.99 | -1586.77 | 20.8658 |
| 0 | 6342.04 | -1134.91 | 11.2064 | 7127.24 | 39887.4 | 33.5127 |

| BLADE CONDITION | 3 BLADE TROUBLE CONDITION | | | | | |
|-----------------|---------------------------|---------|---------|-------------|----------|---------|
| | FORCE (N) | | | TORQUE (Nm) | | |
| | X | Y | Z | X | Y | Z |
| 30 | 24.2498 | 364.301 | 9.01927 | -2281.9 | 142.644 | 12.699 |
| 25 | -100.582 | 519.784 | 9.62044 | -3267.62 | -636.405 | 14.7321 |
| 20 | -285.29 | 1708.51 | 12.5295 | -10750.6 | -1804.47 | 17.8539 |
| 15 | -465.515 | 42.4914 | 14.2408 | -290.666 | -2917.64 | 24.1884 |
| 0 | | | | | | |

HASIL PENGAMBILAN DATA BLADE PADA CFD

| | | NORMAL CONDITION | | | | | |
|-----|-----------------|------------------|---------|----------|-------------|----------|---------|
| 735 | BLADE CONDITION | FORCE (N) | | | TORQUE (Nm) | | |
| | | X | Y | Z | X | Y | Z |
| 30 | FACE | 383.8 | -96.2 | -4195.0 | 1186.7 | 2069.7 | 8178.0 |
| | BACK | -395.9 | 111.5 | -24836.3 | -1025.1 | -2278.6 | 24427.2 |
| | TOTAL | -12.2 | 15.3 | -29031.3 | 161.6 | -208.9 | 32605.2 |
| 25 | FACE | 365.2 | -72.4 | -349.2 | 1131.0 | 1949.6 | 3211.0 |
| | BACK | -216.1 | 90.7 | -25420.6 | -734.4 | -1072.7 | 23661.3 |
| | TOTAL | 149.1 | 18.3 | -25769.8 | 396.6 | 877.0 | 26872.3 |
| 20 | FACE | 51.9 | 531.1 | -13761.2 | -2931.5 | 1601.1 | 12741.8 |
| | BACK | -122.5 | -311.5 | -17460.6 | 1567.2 | -1185.7 | 13450.5 |
| | TOTAL | -70.6 | 219.6 | -31221.8 | -1364.3 | 415.4 | 26192.3 |
| 15 | FACE | -37.4 | 54.4 | -10762.4 | -418.9 | -60.5 | 7963.8 |
| | BACK | 23.1 | -44.0 | -17059.5 | 273.6 | 64.9 | 12458.8 |
| | TOTAL | -14.3 | 10.4 | -27821.9 | -145.3 | 4.5 | 20422.6 |
| 0 | FACE | 394.0 | 2958.8 | -24439.4 | -11570.0 | 21786.0 | 8298.4 |
| | BACK | -1082.5 | -2893.9 | 103395.0 | 15437.9 | -33643.1 | -4276.6 |
| | TOTAL | -688.5 | 64.9 | 78955.6 | 3867.9 | -11857.1 | 4021.7 |

| | | 3 BLADE TROUBLE CONDITION | | | | | |
|------|-----------------|---------------------------|---------|----------|-------------|---------|---------|
| 735 | BLADE CONDITION | FORCE (N) | | | TORQUE (Nm) | | |
| | | X | Y | Z | X | Y | Z |
| 30.0 | FACE | 3975.4 | 276.2 | -62888.8 | 28856.7 | 6828.6 | 8341.1 |
| | BACK | -1099.6 | 730.7 | -7559.8 | -13467.1 | 5485.8 | 23985.3 |
| | TOTAL | 2875.9 | 1006.9 | -70448.6 | 15389.7 | 12314.5 | 32326.3 |
| 25.0 | FACE | 3004.9 | -3381.2 | 409.3 | 27351.2 | 10177.7 | 4281.5 |
| | BACK | -20.8 | 2642.5 | -25010.1 | -14457.9 | 3574.9 | 22984.3 |
| | TOTAL | 2984.1 | -738.7 | -24600.8 | 12893.3 | 13752.5 | 27265.7 |
| 20.0 | FACE | 3033.9 | 340.4 | -8432.6 | 6159.2 | 18326.6 | 9534.3 |
| | BACK | -1272.4 | 255.3 | -18068.3 | -2212.5 | -8353.0 | 14726.8 |
| | TOTAL | 1761.4 | 595.7 | -26500.9 | 3946.7 | 9973.6 | 24261.1 |
| 15.0 | FACE | 342.2 | -1672.0 | -7174.6 | 8601.6 | -2030.7 | 4338.4 |
| | BACK | 1395.8 | 1473.7 | -8055.0 | 5138.3 | 11633.9 | 12766.9 |
| | TOTAL | 1738.0 | -198.3 | -15229.5 | 13739.9 | 9603.2 | 17105.3 |
| 0.0 | FACE | | | | | | |
| | BACK | | | | | | |
| | TOTAL | 0.0 | 0.0 | 0.0 | 0.0 | 0.0 | 0.0 |

HASIL PENGAMBILAN DATA BLADE PADA CFD

| | | NORMAL CONDITION | | | | | |
|--------------------|-------|------------------|----------|-----------|-------------|-----------|----------|
| BLADE CONDITION | | FORCE (N) | | | TORQUE (Nm) | | |
| | | X | Y | Z | X | Y | Z |
| 30 | FACE | 188.9 | 8.1 | -7,758.9 | 232.5 | 1,105.2 | 10,841.2 |
| | BACK | -149.7 | -0.1 | -13,555.0 | -77.0 | -904.6 | 13,043.9 |
| | TOTAL | 39.2 | 8.0 | -21,313.9 | 155.5 | 200.6 | 23,885.1 |
| 25 | FACE | 74.8 | -4.6 | -14,267.3 | 174.0 | 400.9 | 14,764.1 |
| | BACK | -42.1 | 9.0 | -10,306.4 | -82.1 | -225.8 | 8,261.4 |
| | TOTAL | 32.7 | 4.4 | -24,573.7 | 91.9 | 175.1 | 23,025.5 |
| 20 | FACE | -33.1 | 100.4 | -10,169.3 | -675.0 | 41.2 | 8,942.8 |
| | BACK | 3.5 | -73.5 | -10,339.4 | 434.1 | -73.5 | 8,203.8 |
| | TOTAL | -29.7 | 26.9 | -20,508.7 | -240.8 | -32.2 | 17,146.7 |
| 15 | FACE | -26.4 | 13.3 | -511.7 | -153.0 | -117.6 | 1,176.8 |
| | BACK | 16.9 | -16.8 | -12,135.6 | 123.7 | 74.5 | 9,816.6 |
| | TOTAL | -9.5 | -3.5 | -12,647.3 | -29.3 | -43.1 | 10,993.4 |
| 0 | FACE | 351,721.0 | 2,213.4 | -7,562.6 | -8,343.3 | 16,848.5 | 3,343.1 |
| | BACK | -897.7 | -2,222.6 | 85,067.5 | 10,779.7 | -29,503.8 | -2,315.1 |
| | TOTAL | 350,823.3 | -9.3 | 77,504.9 | 2,436.4 | -12,655.3 | 1,028.0 |

| 3 BLADE TROUBLE CONDITION | | | | | | | |
|---------------------------|-------|-----------|---------|----------|-------------|---------|---------|
| BLADE CONDITION | | FORCE (N) | | | TORQUE (Nm) | | |
| | | X | Y | Z | X | Y | Z |
| 30.0 | FACE | 1879.2 | -1052.5 | -8485.1 | 9603.5 | 8617.4 | 12131.2 |
| | BACK | -24.4 | 867.9 | -12721.4 | -4352.9 | 617.7 | 11891.3 |
| | TOTAL | 1854.8 | -184.6 | -21206.5 | 5250.7 | 9235.1 | 24022.5 |
| 25.0 | FACE | 1961.7 | -97.9 | -11025.2 | 4478.8 | 11020.7 | 12033.7 |
| | BACK | -617.6 | 298.6 | -10574.5 | -1803.9 | -3907.2 | 9051.0 |
| | TOTAL | 1344.1 | 200.7 | -21599.7 | 2675.0 | 7113.6 | 21084.7 |
| 20.0 | FACE | 2901.9 | -317.9 | -2348.6 | 10943.5 | 16405.9 | 4367.4 |
| | BACK | -1280.7 | 648.9 | -12036.4 | -5354.6 | -7401.8 | 10337.0 |
| | TOTAL | 1621.3 | 331.0 | -14385.0 | 5588.9 | 9004.1 | 14704.4 |
| 15.0 | FACE | 625494.0 | -1249.4 | 2.6 | 8053.3 | 871.3 | 46.2 |
| | BACK | 736.2 | 1258.7 | -3607.8 | 3770.7 | 7363.0 | 9048.4 |
| | TOTAL | 626230.2 | 9.3 | -3605.1 | 11824.0 | 8234.4 | 9094.6 |
| 0.0 | FACE | | | | | | |
| | BACK | | | | | | |
| | TOTAL | 0.0 | 0.0 | 0.0 | 0.0 | 0.0 | 0.0 |

HASIL PENGAMBILAN DATA BLADE PADA CFD

| | | NORMAL CONDITION | | | | | |
|------|-----------------|------------------|-----------|----------|-------------|----------|---------|
| 441 | BLADE CONDITION | FORCE (N) | | | TORQUE (Nm) | | |
| | | X | Y | Z | X | Y | Z |
| 30.0 | FACE | 54.1 | 46.8 | -9175.2 | -200.5 | 384.2 | 11149.0 |
| | BACK | -52.8 | -28.7 | -5649.8 | 141.2 | -344.8 | 5104.6 |
| | TOTAL | 1.3 | 18.1 | -14825.0 | -59.3 | 39.4 | 16253.6 |
| 25.0 | FACE | 17.9 | 19.5 | -6677.8 | -76.4 | 138.6 | 6972.2 |
| | BACK | 23.6 | -101345.0 | 5134.5 | 23.6 | -101.3 | 5134.5 |
| | TOTAL | 41.5 | -101325.5 | -1543.3 | -52.8 | 37.3 | 12106.7 |
| 20.0 | FACE | 11.7 | 5.0 | -395.4 | -7.2 | 84.2 | 951.3 |
| | BACK | -2.6 | -9.0 | -6878.7 | 52.7 | -27.5 | 6493.6 |
| | TOTAL | 9.1 | -3.9 | -7274.1 | 45.6 | 56.8 | 7444.9 |
| 15.0 | FACE | -29.4 | 4.1 | 11397.7 | -102.6 | -165.0 | -6540.4 |
| | BACK | 17.1 | -71.2 | -10067.4 | 67.9 | 91.2 | 9180.0 |
| | TOTAL | -12.2 | -67.1 | 1330.3 | -34.7 | -73.8 | 2639.5 |
| 0.0 | FACE | -36.9 | 1892.6 | 6309.0 | -9759.7 | 12963.9 | -508.2 |
| | BACK | -416.6 | -1999.8 | 68268.1 | 10635.1 | -23492.6 | -1030.3 |
| | TOTAL | -453.5 | -107.2 | 74577.1 | 875.4 | -10528.7 | -1538.5 |

| | | 3 BLADE TROUBLE CONDITION | | | | | |
|------|-----------------|---------------------------|--------|----------|-------------|---------|---------|
| 441 | BLADE CONDITION | FORCE (N) | | | TORQUE (Nm) | | |
| | | X | Y | Z | X | Y | Z |
| 30.0 | FACE | 1632.2 | 16.9 | -7143.3 | 2813.2 | 9581.9 | 9126.7 |
| | BACK | -477.2 | 279.6 | -5910.6 | -1921.5 | -2789.0 | 5650.7 |
| | TOTAL | 1155.0 | 296.5 | -13053.9 | 891.7 | 6793.0 | 14777.4 |
| 25.0 | FACE | 1791.0 | -81.0 | -2174.0 | 4971.6 | 10438.1 | 3569.4 |
| | BACK | -733.6 | 345.0 | -6702.9 | -2863.6 | -4307.9 | 6613.6 |
| | TOTAL | 1057.4 | 264.0 | -8877.0 | 2108.0 | 6130.2 | 10182.9 |
| 20.0 | FACE | 2168.0 | -104.9 | 6297.9 | 8648.8 | 12856.0 | -2410.9 |
| | BACK | -1108.3 | 441.0 | -8562.4 | -4331.4 | -6504.5 | 8199.8 |
| | TOTAL | 1059.7 | 336.1 | -2264.5 | 4317.4 | 6351.5 | 5788.9 |
| 15.0 | FACE | 555.1 | -666.4 | 9255.0 | 5307.7 | 2149.1 | -5327.3 |
| | BACK | 381.3 | 918.1 | -1419.6 | 4274.9 | 4690.0 | 7382.2 |
| | TOTAL | 936.4 | 251.6 | 7835.4 | 9582.6 | 6839.1 | 2054.9 |
| 0.0 | FACE | | | | | | |
| | BACK | | | | | | |
| | TOTAL | 0.0 | 0.0 | 0.0 | 0.0 | 0.0 | 0.0 |

HASIL PENGAMBILAN DATA BLADE PADA CFD

| NORMAL CONDITION | | | | | | | | |
|------------------|-----------------|-----------|--------|---------|-------------|----------|----------|----------|
| | BLADE CONDITION | FORCE (N) | | | TORQUE (Nm) | | | |
| | | X | Y | Z | X | Y | Z | |
| 294 | 30.0 | FACE | 12.3 | 14.0 | -135.9 | -66.4 | 93.7 | 607.2 |
| | | BACK | -15.3 | -7.9 | -3423.8 | 35.4 | -101.2 | 4369.6 |
| | | TOTAL | -3.0 | 6.1 | -3559.7 | -31.0 | -7.5 | 4976.9 |
| | 25.0 | FACE | -2.8 | 10.9 | 4362.8 | -68.0 | -0.5 | -3690.6 |
| | | BACK | 2.0 | -7.0 | -4493.8 | 39.6 | -19.6 | 5495.1 |
| | | TOTAL | -4.8 | 3.9 | -131.0 | -28.5 | -20.1 | 1804.5 |
| | 20.0 | FACE | 6.1 | 0.9 | 10920.8 | -4.4 | 53.9 | -8034.3 |
| | | BACK | 1.5 | -1.7 | -6178.5 | 16.5 | 6.0 | 6827.8 |
| | | TOTAL | 7.7 | -0.8 | 4742.3 | 12.1 | 60.0 | -1206.5 |
| | 15.0 | FACE | -86.5 | 73.3 | 22306.2 | -667.8 | -288.6 | -13441.9 |
| | | BACK | 37.2 | -45.5 | -9322.3 | 338.3 | 152.9 | 9123.4 |
| | | TOTAL | -49.3 | 27.8 | 12983.9 | -329.5 | -135.8 | -4318.5 |
| | 0.0 | FACE | -789.3 | 1259.9 | 18723.7 | -12190.1 | 6072.0 | -3457.2 |
| | | BACK | 215.7 | -1813.8 | 55796.3 | 8280.1 | -22191.4 | -488.7 |
| | | TOTAL | -573.6 | -553.9 | 74520.0 | -3910.0 | -16119.4 | -3945.9 |

| 3 BLADE TROUBLE CONDITION | | | | | | | | |
|---------------------------|-----------------|-----------|---------|--------|-------------|---------|---------|----------|
| | BLADE CONDITION | FORCE (N) | | | TORQUE (Nm) | | | |
| | | X | Y | Z | X | Y | Z | |
| 294 | 30.0 | FACE | 1257.7 | 78.5 | 2042.9 | 2550.5 | 7693.6 | -983.1 |
| | | BACK | -522.0 | 199.2 | -3846.6 | -522.0 | 199.2 | -3846.6 |
| | | TOTAL | 735.7 | 277.7 | -1803.7 | 2028.5 | 7892.8 | -4829.7 |
| | 25.0 | FACE | 1412.3 | 95.7 | 7299.2 | 3982.1 | 8785.2 | -5091.5 |
| | | BACK | -717.3 | 224.0 | -5145.5 | -2411.5 | -4291.5 | 6099.0 |
| | | TOTAL | 695.0 | 319.7 | 2153.7 | 1570.5 | 4493.7 | 1007.5 |
| | 20.0 | FACE | 1855.8 | 236.9 | 16651.5 | 6856.0 | 12130.0 | -10019.1 |
| | | BACK | -1113.4 | 240.8 | -7556.4 | -3413.2 | -6750.0 | 7954.0 |
| | | TOTAL | 742.4 | 477.7 | 9095.1 | 3442.8 | 5380.0 | -2065.1 |
| | 15.0 | FACE | 496.3 | -366.0 | 19103.8 | 3983.7 | 2516.2 | -11117.4 |
| | | BACK | 175.4 | 719.0 | -1049.3 | 4443.9 | 3037.9 | 7135.1 |
| | | TOTAL | 671.7 | 353.0 | 18054.5 | 8427.6 | 5554.1 | 3982.4 |
| | 0.0 | FACE | | | | | | |
| | | BACK | | | | | | |
| | | TOTAL | 0.0 | 0.0 | 0.0 | 0.0 | 0.0 | 0.0 |

HASIL PENGAMBILAN DATA BLADE PADA CFD

| NORMAL CONDITION | | | | | | | | |
|------------------|-----------------|-----------|--------|---------|-------------|---------|----------|----------|
| | BLADE CONDITION | FORCE (N) | | | TORQUE (Nm) | | | |
| | | X | Y | Z | X | Y | Z | |
| 147 | 30.0 | FACE | -45.4 | 20.6 | 6661.9 | -214.0 | -204.8 | -7320.9 |
| | | BACK | 19.8 | -27.6 | -2450.4 | 220.5 | 79.2 | 4008.5 |
| | | TOTAL | -25.6 | -7.0 | 4211.5 | 6.5 | -125.6 | -3312.5 |
| | 25.0 | FACE | -63.7 | 156.9 | 11171.6 | 832.4 | -704.4 | -10287.5 |
| | | BACK | 72.4 | 60.2 | -3762.9 | -250.6 | 524.2 | 5264.7 |
| | | TOTAL | 8.7 | 217.1 | 7408.7 | 581.8 | -180.2 | -5022.8 |
| | 20.0 | FACE | 60.2 | -59.7 | 17852.5 | 509.6 | 259.1 | -13434.8 |
| | | BACK | 5.6 | 40.4 | -5517.6 | -164.8 | 92.1 | 6660.5 |
| | | TOTAL | 65.9 | -19.3 | 12334.9 | 344.8 | 351.2 | -6774.3 |
| | 15.0 | FACE | -256.2 | 357.8 | 28250.1 | -2857.0 | -436.8 | -16972.7 |
| | | BACK | 76.1 | -210.7 | -8071.8 | 1431.1 | 123.3 | 8483.5 |
| | | TOTAL | -180.1 | 147.2 | 20178.3 | -1425.9 | -313.6 | -8489.2 |
| | 0.0 | FACE | -259.6 | 799.7 | 33802.9 | -4763.2 | 5180.4 | -6733.3 |
| | | BACK | 61.1 | -1519.5 | 53872.0 | 9188.0 | -22621.3 | 158.4 |
| | | TOTAL | -198.5 | -719.8 | 87674.9 | 4424.8 | -17441.0 | -6574.9 |

| 3 BLADE TROUBLE CONDITION | | | | | | | | |
|---------------------------|-----------------|-----------|---------|--------|-------------|---------|----------|----------|
| | BLADE CONDITION | FORCE (N) | | | TORQUE (Nm) | | | |
| | | X | Y | Z | X | Y | Z | |
| 147 | 30.0 | FACE | 454.5 | -48.3 | 8764.7 | 2187.7 | 2789.0 | -8595.4 |
| | | BACK | -251.5 | 144.3 | -2947.9 | -1320.3 | -1468.5 | 4545.6 |
| | | TOTAL | 203.0 | 96.0 | 5816.8 | 867.4 | 1320.5 | -4049.8 |
| | 25.0 | FACE | 602.1 | 331.1 | 13609.2 | 882.2 | 4517.2 | -11242.2 |
| | | BACK | -386.4 | -35.1 | -4359.4 | -468.4 | -2564.2 | 5746.6 |
| | | TOTAL | 215.6 | 296.0 | 9249.8 | 413.8 | 1953.0 | -5495.7 |
| | 20.0 | FACE | 1600.8 | 727.5 | 23018.4 | 3379.7 | 11850.1 | -14935.4 |
| | | BACK | -1042.2 | -50.7 | -6840.3 | -1532.1 | -6687.7 | 7656.0 |
| | | TOTAL | 558.6 | 676.8 | 16178.1 | 1847.6 | 5162.4 | -7279.4 |
| | 15.0 | FACE | -2185.4 | -89.0 | 27814.3 | -5763.0 | -12499.4 | -16539.7 |
| | | BACK | 1395.8 | 1473.7 | -8055.0 | 5138.3 | 11633.9 | 12766.9 |
| | | TOTAL | -789.6 | 1384.6 | 19759.3 | -624.7 | -865.5 | -3772.8 |
| | 0.0 | FACE | | | | | | |
| | | BACK | | | | | | |
| | | TOTAL | 0.0 | 0.0 | 0.0 | 0.0 | 0.0 | |

DATA UNTUK GRAFIK GAYA DAN TORSI

| FORCE (N) | | | | | | |
|-----------|-----------------|--------|---------|---------|------------|----------|
| | BLADE CONDITION | NORMAL | TROUBLE | SELISIH | PERSENTASE | |
| 735 | 30 | X | 12.2 | 2875.9 | 2863.7 | 23558.0 |
| | | Y | 15.3 | 1006.9 | 991.6 | 6463.2 |
| | | Z | 29031.3 | 70448.6 | 41417.3 | 142.7 |
| | 25 | X | 149.1 | 2984.1 | 2835.0 | 1900.9 |
| | | Y | 18.3 | 24600.8 | 24582.6 | 134517.7 |
| | | Z | 25769.8 | 2984.1 | 22785.7 | 88.4 |
| | 20 | X | 70.6 | 1761.4 | 1690.9 | 2395.7 |
| | | Y | 219.6 | 595.7 | 376.1 | 171.3 |
| | | Z | 31221.8 | 26500.9 | 4720.9 | 15.1 |
| | 15 | X | 14.3 | 1738.0 | 1723.7 | 12012.5 |
| | | Y | 10.4 | 198.3 | 187.9 | 1807.9 |
| | | Z | 27821.9 | 15229.5 | 12592.4 | 45.3 |
| | 0 | X | 688.5 | 0.0 | 688.5 | 100.0 |
| | | Y | 64.9 | 0.0 | 64.9 | 100.0 |
| | | Z | 78955.6 | 0.0 | -78955.6 | -100.0 |

| FORCE (N) | | | | | | |
|-----------|-----------------|--------|----------|----------|------------|-----------|
| | BLADE CONDITION | NORMAL | TROUBLE | SELISIH | PERSENTASE | |
| 588 | 30 | X | 39.2 | 1854.8 | 1815.6 | 4635.4 |
| | | Y | 8.0 | 184.6 | 176.6 | 2206.0 |
| | | Z | 21313.9 | 21206.5 | 107.4 | 0.5 |
| | 25 | X | 32.7 | 1344.1 | 1311.4 | 4013.3 |
| | | Y | 4.4 | 21599.7 | 21595.3 | 491963.1 |
| | | Z | 24573.7 | 1344.1 | 23229.6 | 94.5 |
| | 20 | X | 29.7 | 1621.3 | 1591.6 | 5365.5 |
| | | Y | 26.9 | 331.0 | 304.0 | 1128.5 |
| | | Z | 20508.7 | 14385.0 | 6123.7 | 29.9 |
| | 15 | X | 9.5 | 626230.2 | 626220.7 | 6614076.0 |
| | | Y | 3.5 | 9.3 | 5.8 | 164.4 |
| | | Z | 12647.3 | 3605.1 | 9042.1 | 71.5 |
| | 0 | X | 350823.3 | 0.0 | 350823.3 | 100.0 |
| | | Y | 9.3 | 0.0 | 9.3 | 100.0 |
| | | Z | 77504.9 | 0.0 | 77504.9 | 100.0 |

DATA UNTUK GRAFIK GAYA DAN TORSI

| FORCE (N) | | | | | | |
|-----------|-----------------|---|----------|----------|----------|------------|
| 588 | BLADE CONDITION | | NORMAL | TROUBLE | SELISIH | PERSENTASE |
| | 30 | X | 39.2 | 1854.8 | 1815.6 | 4635.4 |
| | | Y | 8.0 | 184.6 | 176.6 | 2206.0 |
| | | Z | 21313.9 | 21206.5 | 107.4 | 0.5 |
| | 25 | X | 32.7 | 1344.1 | 1311.4 | 4013.3 |
| | | Y | 4.4 | 21599.7 | 21595.3 | 491963.1 |
| | | Z | 24573.7 | 1344.1 | 23229.6 | 94.5 |
| | 20 | X | 29.7 | 1621.3 | 1591.6 | 5365.5 |
| | | Y | 26.9 | 331.0 | 304.0 | 1128.5 |
| | | Z | 20508.7 | 14385.0 | 6123.7 | 29.9 |
| | 15 | X | 9.5 | 626230.2 | 626220.7 | 6614076.0 |
| | | Y | 3.5 | 9.3 | 5.8 | 164.4 |
| | | Z | 12647.3 | 3605.1 | 9042.1 | 71.5 |
| | 0 | X | 350823.3 | 0.0 | 350823.3 | 100.0 |
| | | Y | 9.3 | 0.0 | 9.3 | 100.0 |
| | | Z | 77504.9 | 0.0 | 77504.9 | 100.0 |

| TORQUE (Nm) | | | | | | |
|-------------|-----------------|---|---------|---------|---------|------------|
| 588 | BLADE CONDITION | | NORMAL | TROUBLE | SELISIH | PERSENTASE |
| | 30 | X | 155.5 | 5250.7 | 5095.1 | 3276.4 |
| | | Y | 200.6 | 9235.1 | 9034.5 | 4504.3 |
| | | Z | 23885.1 | 24022.5 | 137.4 | 0.6 |
| | 25 | X | 91.9 | 2675.0 | 2583.1 | 2811.5 |
| | | Y | 175.1 | 7113.6 | 6938.4 | 3961.8 |
| | | Z | 23025.5 | 21084.7 | 1940.8 | 8.4 |
| | 20 | X | 240.8 | 5588.9 | 5348.1 | 2220.6 |
| | | Y | 32.2 | 9004.1 | 8971.9 | 27830.6 |
| | | Z | 17146.7 | 14704.4 | 2442.3 | 14.2 |
| | 15 | X | 29.3 | 11824.0 | 11794.7 | 40259.1 |
| | | Y | 43.1 | 8234.4 | 8191.3 | 19019.6 |
| | | Z | 10993.4 | 9094.6 | 1898.8 | 17.3 |
| | 0 | X | 2436.4 | 0.0 | 2436.4 | 100.0 |
| | | Y | 12655.3 | 0.0 | 12655.3 | 100.0 |
| | | Z | 1028.0 | 0.0 | 1028.0 | 100.0 |

DATA UNTUK GRAFIK GAYA DAN TORSI

| FORCE (N) | | | | | | |
|-----------|-----------------|---|----------|---------|---------|------------|
| | BLADE CONDITION | | NORMAL | TROUBLE | SELISIH | PERSENTASE |
| 441 | 30 | X | 1.3 | 1155.0 | 1153.7 | 87838.8 |
| | | Y | 18.1 | 296.5 | 278.4 | 1539.9 |
| | | Z | 14825.0 | 13053.9 | 1771.0 | 11.9 |
| | 25 | X | 41.5 | 1057.4 | 1015.9 | 2448.6 |
| | | Y | 101325.5 | 8877.0 | 92448.6 | 91.2 |
| | | Z | 1543.3 | 1057.4 | 485.8 | 31.5 |
| | 20 | X | 9.1 | 1059.7 | 1050.6 | 11571.0 |
| | | Y | 3.9 | 336.1 | 332.2 | 8437.4 |
| | | Z | 7274.1 | 2264.5 | 5009.6 | 68.9 |
| | 15 | X | 12.2 | 936.4 | 924.2 | 7565.1 |
| | | Y | 67.1 | 251.6 | 184.5 | 275.1 |
| | | Z | 1330.3 | 7835.4 | 6505.1 | 489.0 |
| | 0 | X | 453.5 | 0.0 | 453.5 | 100.0 |
| | | Y | 107.2 | 0.0 | 107.2 | 100.0 |
| | | Z | 74577.1 | 0.0 | 74577.1 | 100.0 |

| TORQUE (Nm) | | | | | | |
|-------------|-----------------|---|---------|---------|---------|------------|
| | BLADE CONDITION | | NORMAL | TROUBLE | SELISIH | PERSENTASE |
| 441 | 30 | X | 59.3 | 891.7 | 832.4 | 1403.6 |
| | | Y | 39.4 | 6793.0 | 6753.6 | 17153.7 |
| | | Z | 16253.6 | 14777.4 | 1476.2 | 9.1 |
| | 25 | X | 52.8 | 2108.0 | 2055.2 | 3890.2 |
| | | Y | 37.3 | 6130.2 | 6092.9 | 16341.0 |
| | | Z | 12106.7 | 10182.9 | 1923.8 | 15.9 |
| | 20 | X | 45.6 | 4317.4 | 4271.8 | 9378.0 |
| | | Y | 56.8 | 6351.5 | 6294.7 | 11090.6 |
| | | Z | 7444.9 | 5788.9 | 1656.0 | 22.2 |
| | 15 | X | 34.7 | 9582.6 | 9547.8 | 27481.0 |
| | | Y | 73.8 | 6839.1 | 6765.2 | 9163.1 |
| | | Z | 2639.5 | 2054.9 | 584.7 | 22.1 |
| | 0 | X | 875.4 | 0.0 | 875.4 | 100.0 |
| | | Y | 10528.7 | 0.0 | 10528.7 | 100.0 |
| | | Z | 1538.5 | 0.0 | 1538.5 | 100.0 |

DATA UNTUK GRAFIK GAYA DAN TORSI

| FORCE (N) | | | | | | |
|-----------|-----------------|--------|---------|---------|------------|---------|
| | BLADE CONDITION | NORMAL | TROUBLE | SELISIH | PERSENTASE | |
| 294 | 30 | X | 3.0 | 735.7 | 732.7 | 24230.3 |
| | | Y | 6.1 | 277.7 | 271.7 | 4463.0 |
| | | Z | 3559.7 | 1803.7 | 1756.0 | 49.3 |
| | 25 | X | 4.8 | 695.0 | 690.2 | 14498.2 |
| | | Y | 3.9 | 2153.7 | 2149.8 | 55810.3 |
| | | Z | 131.0 | 695.0 | 564.0 | 430.4 |
| | 20 | X | 7.7 | 742.4 | 734.7 | 9586.9 |
| | | Y | 0.8 | 477.7 | 476.8 | 56779.3 |
| | | Z | 4742.3 | 9095.1 | 4352.8 | 91.8 |
| | 15 | X | 49.3 | 671.7 | 622.4 | 1263.2 |
| | | Y | 27.8 | 353.0 | 325.2 | 1170.1 |
| | | Z | 12983.9 | 18054.5 | 5070.6 | 39.1 |
| | 0 | X | 573.6 | 0.0 | 573.6 | 100.0 |
| | | Y | 553.9 | 0.0 | 553.9 | 100.0 |
| | | Z | 74520.0 | 0.0 | 74520.0 | 100.0 |

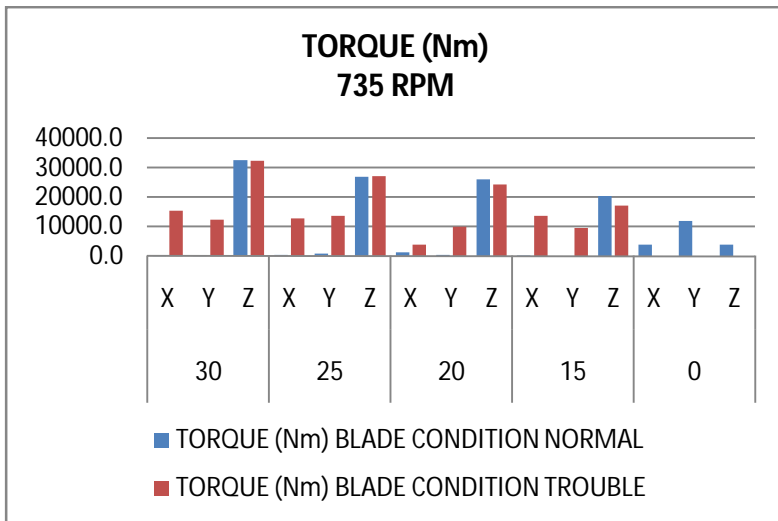
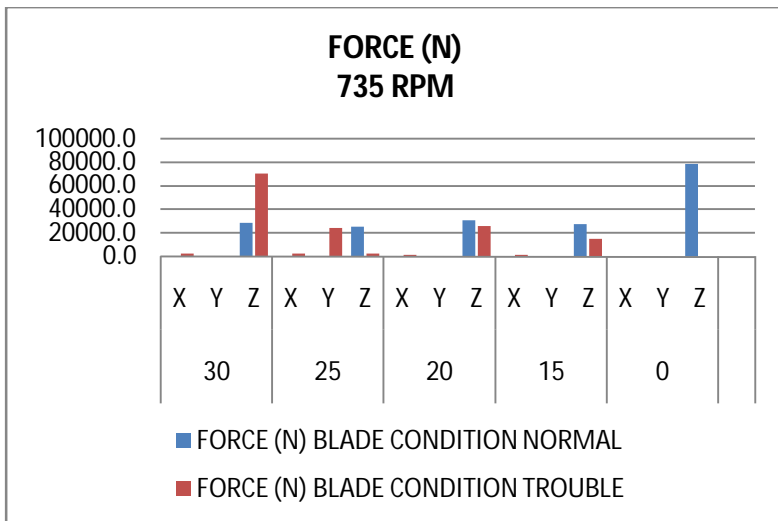
| TORQUE (Nm) | | | | | | |
|-------------|-----------------|--------|---------|---------|------------|----------|
| | BLADE CONDITION | NORMAL | TROUBLE | SELISIH | PERSENTASE | |
| 294 | 30 | X | 31.0 | 2028.5 | 1997.5 | 6445.7 |
| | | Y | 7.5 | 7892.8 | 7885.3 | 105242.9 |
| | | Z | 4976.9 | 4829.7 | 147.2 | 3.0 |
| | 25 | X | 28.5 | 1570.5 | 1542.1 | 5419.4 |
| | | Y | 20.1 | 4493.7 | 4473.6 | 22247.2 |
| | | Z | 1804.5 | 1007.5 | 797.0 | 44.2 |
| | 20 | X | 12.1 | 3442.8 | 3430.7 | 28367.5 |
| | | Y | 60.0 | 5380.0 | 5320.1 | 8872.7 |
| | | Z | 1206.5 | 2065.1 | 858.6 | 71.2 |
| | 15 | X | 329.5 | 8427.6 | 8098.1 | 2457.5 |
| | | Y | 135.8 | 5554.1 | 5418.4 | 3991.3 |
| | | Z | 4318.5 | 3982.4 | 336.2 | 7.8 |
| | 0 | X | 3910.0 | 0.0 | 3910.0 | 100.0 |
| | | Y | 16119.4 | 0.0 | 16119.4 | 100.0 |
| | | Z | 3945.9 | 0.0 | 3945.9 | 100.0 |

DATA UNTUK GRAFIK GAYA DAN TORSI

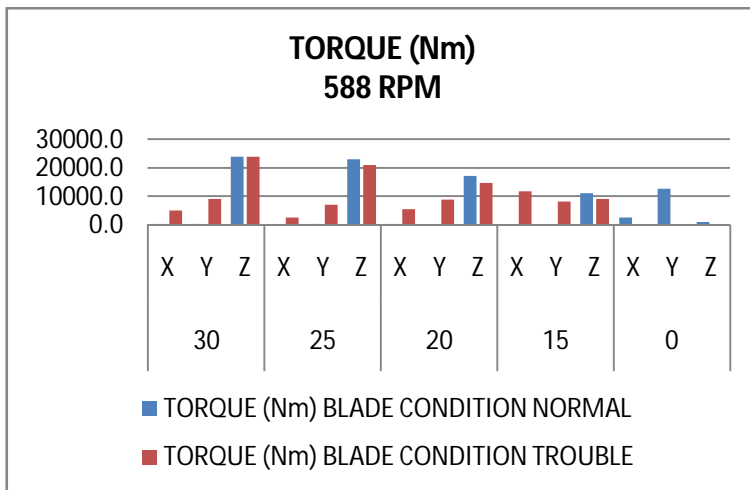
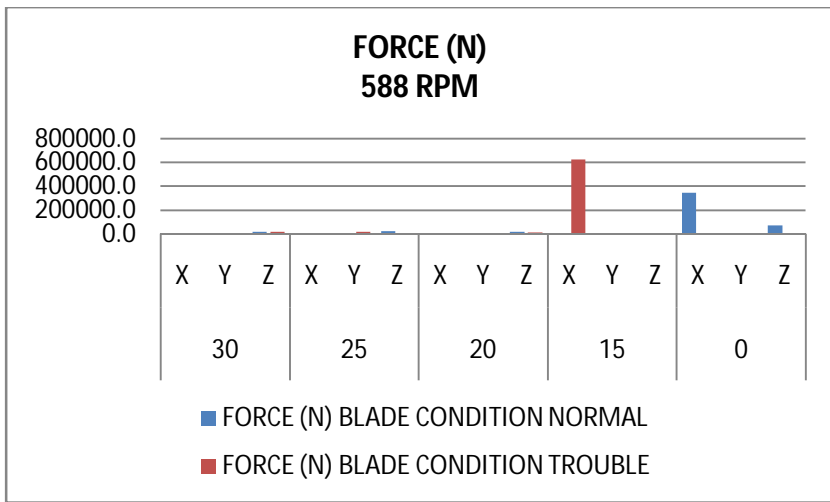
| FORCE (N) | | | | | |
|-----------|-----------------|---------|---------|---------|------------|
| 147 | BLADE CONDITION | NORMAL | TROUBLE | SELISIH | PERSENTASE |
| | X | 25.6 | 203.0 | 177.4 | 693.4 |
| | Y | 7.0 | 96.0 | 89.1 | 1280.3 |
| | Z | 4211.5 | 5816.8 | 1605.3 | 38.1 |
| | X | 8.7 | 215.6 | 206.9 | 2378.5 |
| | Y | 217.1 | 9249.8 | 9032.7 | 4160.8 |
| | Z | 7408.7 | 215.6 | 7193.0 | 97.1 |
| | X | 65.9 | 558.6 | 492.8 | 748.3 |
| | Y | 19.3 | 676.8 | 657.5 | 3409.8 |
| | Z | 12334.9 | 16178.1 | 3843.2 | 31.2 |
| 15 | X | 180.1 | 789.6 | 609.5 | 338.4 |
| | Y | 147.2 | 1384.6 | 1237.5 | 840.8 |
| | Z | 20178.3 | 19759.3 | 419.0 | 2.1 |
| 0 | X | 198.5 | 0.0 | 198.5 | 100.0 |
| | Y | 719.8 | 0.0 | 719.8 | 100.0 |
| | Z | 87674.9 | 0.0 | 87674.9 | 100.0 |

| TORQUE (Nm) | | | | | |
|-------------|-----------------|---------|---------|---------|------------|
| 147 | BLADE CONDITION | NORMAL | TROUBLE | SELISIH | PERSENTASE |
| | X | 6.5 | 867.4 | 860.9 | 13173.6 |
| | Y | 125.6 | 1320.5 | 1194.9 | 951.7 |
| | Z | 3312.5 | 4049.8 | 737.3 | 22.3 |
| | X | 581.8 | 413.8 | 168.0 | 28.9 |
| | Y | 180.2 | 1953.0 | 1772.8 | 984.1 |
| | Z | 5022.8 | 5495.7 | 472.8 | 9.4 |
| | X | 344.8 | 1847.6 | 1502.8 | 435.9 |
| | Y | 351.2 | 5162.4 | 4811.3 | 1370.1 |
| | Z | 6774.3 | 7279.4 | 505.1 | 7.5 |
| 15 | X | 1425.9 | 624.7 | 801.2 | 56.2 |
| | Y | 313.6 | 865.5 | 551.9 | 176.0 |
| | Z | 8489.2 | 3772.8 | 4716.4 | 55.6 |
| 0 | X | 4424.8 | 0.0 | 4424.8 | 100.0 |
| | Y | 17441.0 | 0.0 | 17441.0 | 100.0 |
| | Z | 6574.9 | 0.0 | 6574.9 | 100.0 |

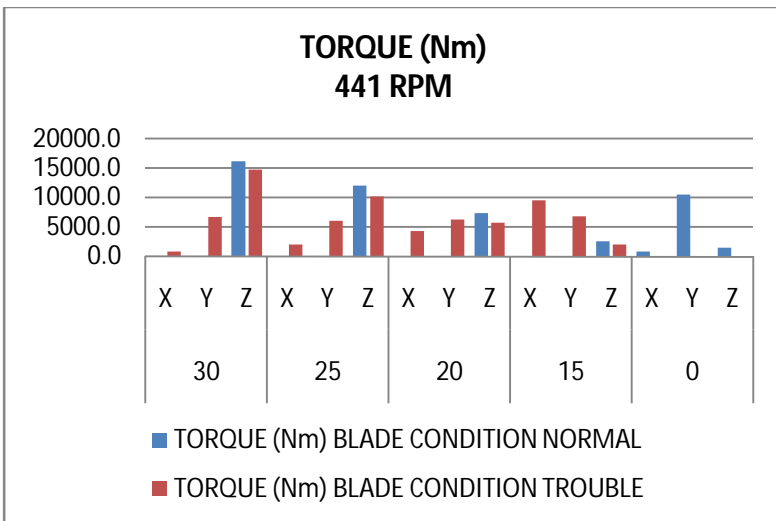
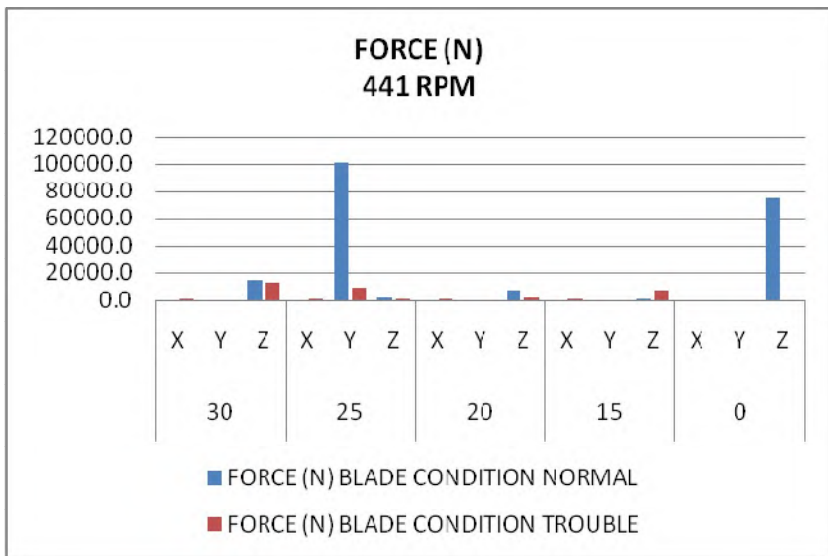
GRAFIK GAYA DAN TORSI



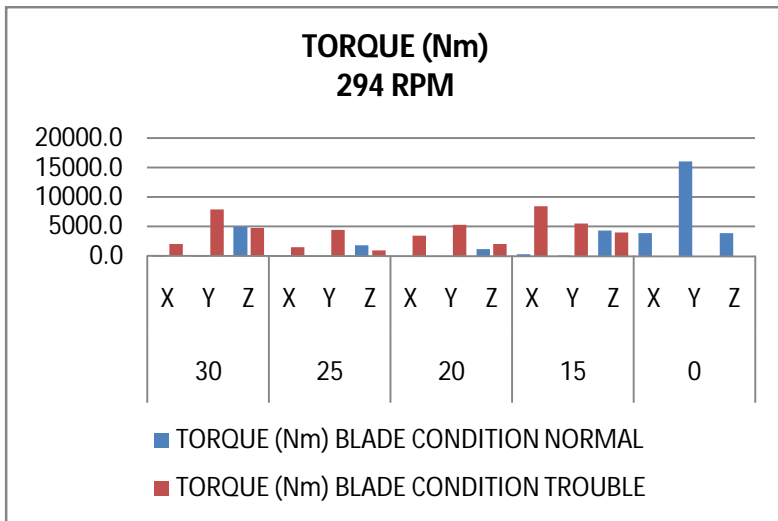
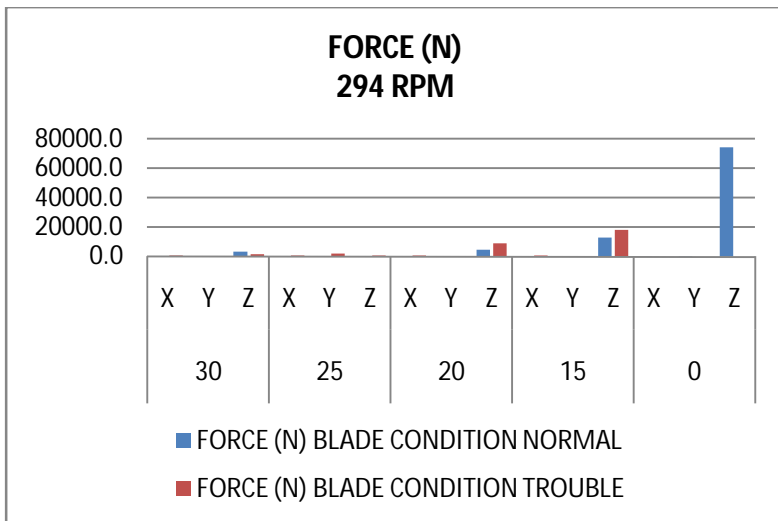
GRAFIK GAYA DAN TORSI



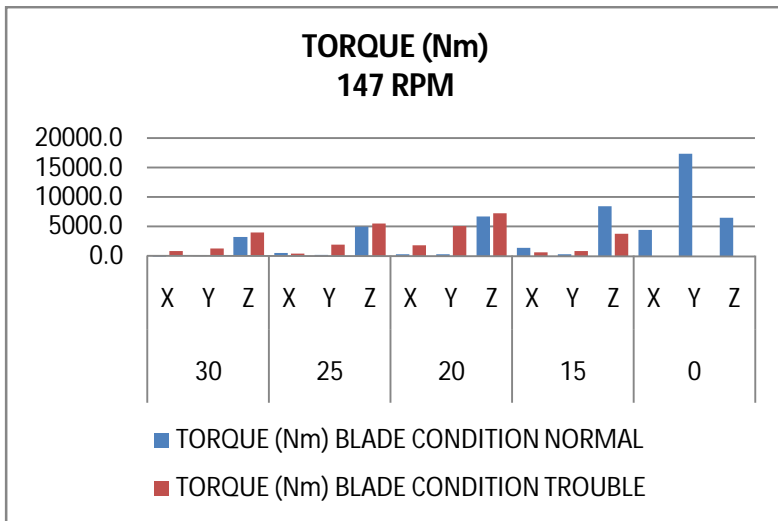
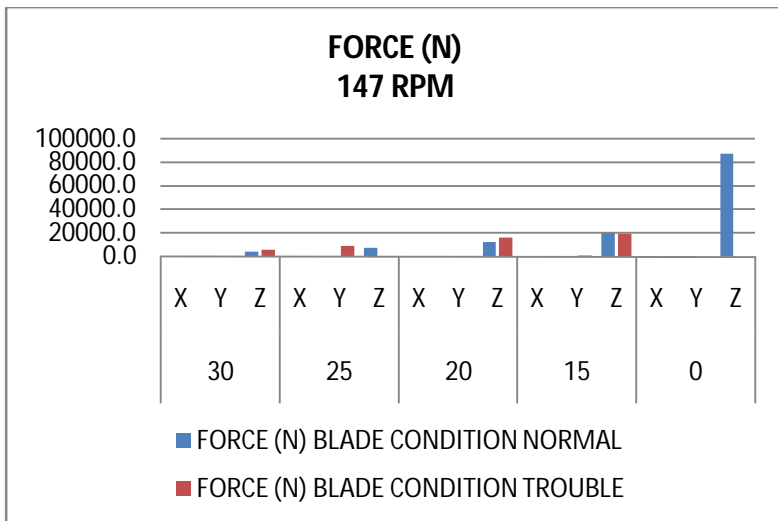
GRAFIK GAYA DAN TORSI



GRAFIK GAYA DAN TORSI



GRAFIK GAYA DAN TORSI



BIODATA PENULIS



Terlahir dengan nama lengkap Samuel Anderson Tambunan di kota Medan pada tanggal 12 Juli 1991. Merupakan anak Pertama dari 4 bersaudara dari pasangan orang tua Ir. Hasoloan Tambunan dan Pesta Juniati br.tobing Masa kecil penulis dihabiskan di kota medan hingga SMA. Penulis telah menempuh pendidikan formal di SD. Bersubsidi Markus Medan, SMP dan SMA di yayasan Perguruan Swasta SUTOMO 1. Penulis kemudian melanjutkan studinya pada tahun 2009 di Institut Teknologi Sepuluh Nopember Surabaya di jurusan Teknik Sistem Perkapalan, Fakultas Teknologi Kelautan. Selama masa studi di ITS penulis aktif di lingkup jurusan dengan menjadi pengurus/anggota Laboratorium Marine Manufacturing and Design (MMD).Penulis juga aktif mengikuti berbagai Seminar yang diadakan oleh pihak ITS maupun dari luar ITS untuk mendapatkan ilmu tambahan yang mendukung proses kegiatan kuliah maupun proses pengembangan diri penulis. Penulis juga pernah mengikuti berbagai kepanitiaan di luar ITS. Di Semester akhir, Penulis mengambil Skripsi di bidang Marine Manufacturing and Design (MMD).

"halaman ini sengaja dikosongkan"

BAB V

KESIMPULAN DAN SARAN

5.1 Kesimpulan

Berdasarkan hasil simulasi, analisa data, dan pembahasan yang telah dilakukan, maka dapat diambil beberapa kesimpulan sebagai berikut:

1. Dari hasil simulasi CFD , ketika kondisi 3 *blade* sudut (*pitch*) bermasalah telah mengakibatkan kenaikan gaya radial *blade* ke arah sumbu y dan x dan akan terjadinya peningkatan momen puntir *blade* pada sumbu x dan y yaitu sumbu x dan y yaitu M_x dan M_y . Hal ini akan mengakibatkan berkurangnya umur bantalan bearing
2. Pada tumpuan 3 (*bearing* dekat *blade*) pengaruh 3 sudut *blade* (*uniform*) dengan sudut lainnya akan menyebabkan umur *bearing* dari desain semula 2 tahun lebih cepat menjadi (24bulan) 8 – 10 bulan
3. Pada tumpuan 2 umur desain bantalan sekitar 7 – 10 tahun, bila terjadi masalah putaran *trouble* (akibat 3 blade bermasalah) umur bantalan pada tumpuan 2 menjadi 2 tahun

5.2 Saran

1. Dari kajian teknis yang ada diatas menunjukkan 3 *blade* yang berbeda *pitch* tersebut harus diganti agar tidak menyebabkan kerusakan lagi pada *bearing*
2. Desain umur bantalan (*bearing*) ditumpuan 3 harus diganti agar umur bantalan lebih lama yaitu dengan mencari kemampuan bantalan (*bearing*) dengan *Basic Dynamic Load Rating* (C_r) dan *Basic Static Load Rating* diatas 2.400.000 N untuk umur desain 5 tahun atau diatas 3.000.000 N untuk umur desain 10 tahun

“halaman ini sengaja dikosongkan”